



مقاله پژوهشی

گرانیتوئیدهای پهنه سنتندج-سیرجان متعلق به سری ایلمینیت (نوع S)، همزاد با کوهزایی سیمیرین (۱۶۰-۱۷۸ میلیون سال پیش): بررسی علت عدم تشکیل کانی‌سازی قلع پورفیری

محمدحسن کریمپور^{۱*}، نرگس شیردشتزاده^۲ و مارتبا صادقی^۳

(۱) گروه پژوهشی اکتشاف ذخایر معدنی شرق ایران، دانشکده علوم، دانشگاه فردوسی مشهد، مشهد، ایران

(۲) دانشکده علوم زمین، دانشگاه کلرادو، بولدر، امریکا

(۳) گروه زمین‌شناسی، دانشکده علوم، دانشگاه اصفهان، اصفهان، ایران

(۴) بخش زمین‌شناسی اقتصادی، سازمان زمین‌شناسی سوئد، اوپسالا، سوئد

دریافت مقاله: ۱۴۰۰/۰۱/۰۴، پذیرش: ۱۴۰۰/۰۳/۰۱

چکیده

در این پژوهش، بر اساس داده‌های زمین‌شناسی، زمین‌فیزیکی، زمین‌شیمیایی ایزوتوپی موجود برای گرانیتوئیدهای ژوراسیک (بازه ۱۷۸-۱۶۰ میلیون سال پیش) در پهنه سنتندج-سیرجان^۱، به بررسی خاستگاه و پهنه تکتونوماگمایی این گرانیتوئیدها و امکان کانی‌سازی قلع در ارتباط با آنها پرداخته می‌شود. ویژگی‌های زمین‌شناسی، زمین‌فیزیکی و زمین‌شیمیایی گرانیتوئیدهای پهنه سنتندج-سیرجان (مانند نبود کمان آتشفسانی و سنگ‌های آتشفسانی، ضخیم شدگی پوسته قاره‌ای (۵۶ کیلومتر) و تشکیل توده‌های گرانیتوئیدی با ابعاد بزرگ (باتولیت) در عمق بیشتر از ۴ کیلومتر، پیدایش سنگ‌های دگرگونی و رویداد دگرگونی ناحیه‌ای در حد رخساره شیست سبز (و آمفیبولیت) در پی فرایندهای کوهزایی سیمیرین، مقدار $\text{Eu}/\text{Eu}_{\text{N}}$ کم (شرایط احیایی)، پذیرفتاری مغناطیسی کمتر از 10^{-5} ppm (سری ایلمینیت)، Nd_{i} منفی و $\text{Sr}^{87}/\text{Sr}^{86}$ بیشتر از ۰/۷۰۷ (بیشتر از ۰/۷۰۷) برخلاف پژوهش‌های پیشین نشان می‌دهند که این گرانیتوئیدها از گرانیتوئیدهای نوع S پدیدآمده در پی ذوب پوسته قاره‌ای در پهنه برخوردی هستند. از این‌رو، وقوع کانی‌سازی قلع در ارتباط با پیدایش آنها محتمل است؛ اما شواهد بسیاری بیانگر نبود کانی‌سازی قلع توسط مagma‌های سازنده این گرانیتوئیدهایست که عبارتند از نبود محلول‌های گرمابی و در نتیجه توانایی کانی‌سازی (با توجه به نبود کانی‌های دگرسانی در تصاویر ماهواره ASTER)، فراوانی اندک عنصرهای قلع، مس، سرب و روی در این گرانیتوئیدها و رسوب‌های رودخانه‌ای وابسته به آنها، مقدار $\text{Eu}/\text{Eu}_{\text{N}}$ بیشتر از ۰/۲، Rb/Sr کمتر از ۳، Y کم ($10^{-5}-75$ ppm)، Ba بیشتر از ۲۰۰ ppm و شباهت‌های زمین‌شناسی، زمین‌فیزیکی و زمین‌شیمیایی به گرانیتوئیدهای نوع S (سری ایلمینیت) نابارور در بلوک لوت (در مناطق نجم آباد، سرخ‌کوه تا شاه‌کوه) که در پهنه برخورد قاره‌ای و در طی کوهزایی سیمیرین پدید آمده‌اند.

واژه‌های کلیدی: گرانیتوئید نوع L کانسار قلع، کوهزایی سیمیرین، پهنه سنتندج-سیرجان

مقدمه

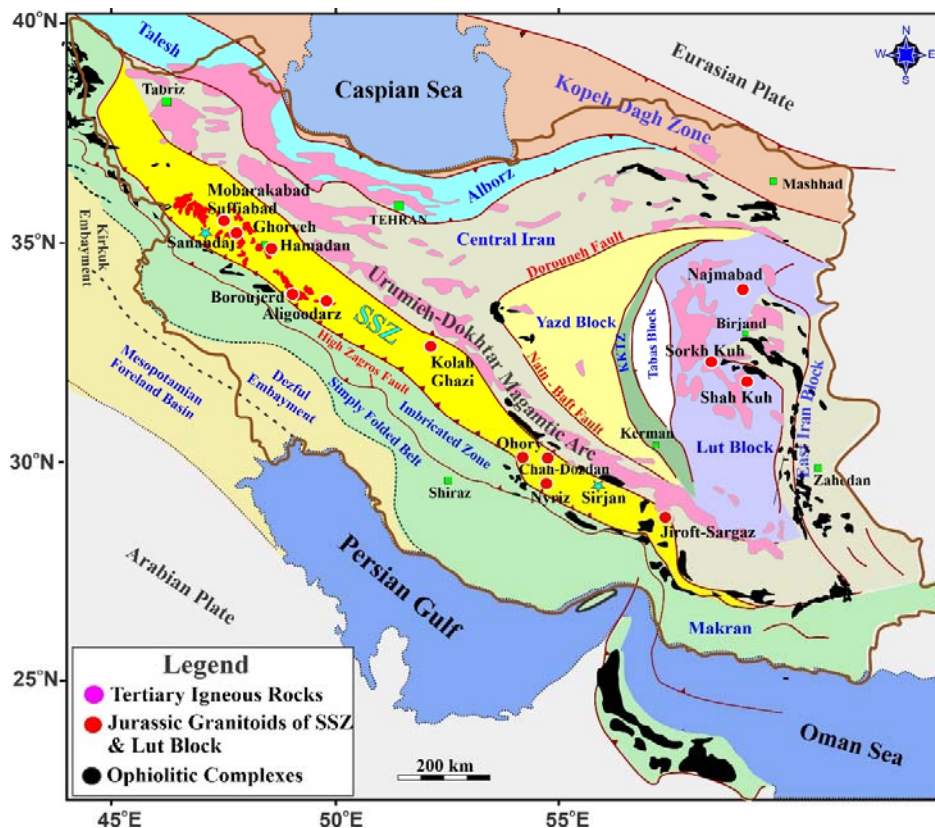
در پهنه سنتدج سیرجان، توده‌های گرانیتوئیدی ژوراسیک به سن ۱۷۸-۱۶۰ میلیون سال پیش (Chiu et al., 2013; Zhang et al., 2018) در مناطق همدان، الوند (Shahbazi et al., 2018)، ملایر (Ahadnejad et al., 2011)، بروجرد (Tahmasbi et al., 2010)، آستانه (Khalaji et al., 2007)، الیگودرز (Bayati et al., 2012)، کلاه‌فاضی (Esna-Ashari et al., 2012)، نیریز (قری) و جیرفت-سرگز (شکل ۱) (2017) رخنمون یافته‌اند. بر اساس بیشتر این بررسی‌ها، این گرانیتوئیدها از نوع گرانیتوئیدهای متا‌آلومینوس و گرانیتوئیدهای نوع I پدیدآمده در پهنه فرورانش نوع آندی و کمان ماگمایی Khalaji et al., 2007; Tahmasbi et al., 2010;) (Ahadnejad et al., 2011; Esna-Ashari et al., 2012) گرانیتوئیدهای نوع I پدیدآمده در حوضه کششی مرتبط با پهنه فروانش (Shahbazi et al., 2010)، گرانیتوئیدهای پدیدآمده از ذوب پوسته قاره‌ای در پی فرایند عقب گرد^۱ پوسته اقیانوسی نئوتیس در حال فرورانش (Zhang et al., 2018) و Bayati et al., 2017) گرانیتوئیدهای نوع S مرتبط با پهنه فرورانش (از نظر گرفته شده‌اند. از این‌رو، این بررسی‌ها خاستگاه زمین‌ساختی پیدایش ماگمای سازنده این گرانیتوئیدها را کمان ماگمایی و یا سیستم کششی مرتبط با فرورانش نئوتیس دانسته‌اند.

در این پژوهش، داده‌های زمین‌شیمیایی، ایزوتوپی و سن‌سنجه گرانیتوئیدهای نوع S بازه زمانی ۱۷۸ تا ۱۶۰ میلیون سال پیش در پهنه SaSZ گردآوری شده است و از دیدگاه سنگ‌شناسی و زمین‌شیمی بازنگری و جمع‌بندی می‌شود. سپس با نتایج بدست آمده از شواهد صحرایی و زمین‌فیزیکی (داده‌های مغناطیس‌سنجه هوایی) و دور‌سنجه این پهنه مقایسه می‌شوند. پس از جمع‌بندی، ارزیابی و بازنگری دقیق سرشت زمین‌شیمیایی این گرانیتوئیدها، خاستگاه ماگمای سازنده آنها و پهنه زمین‌ساختی پیدایش آنها، به بررسی امکان رویداد کانی‌سازی قلع در ارتباط با گرانیتوئیدهای این پهنه زمین‌شناسی پرداخته

تاکنون بررسی‌ها و تلاش‌های بسیاری برای شناخت مجموعه گرانیتوئیدهای گوناگون و محیط زمین‌ساختی پیدایش ماگمایی سازنده آنها انجام شده است که بر اساس ترکیب زمین‌شیمیایی Pearce et al., 1984; Chappell and White, 2001; Chappell et al., 2004; Gill, 2010; Clemens et al., 2011; Clemens and Stevens, 2012; Grebennikov, 2014 (McCurloch and Chappell, 1982; Gill, 2010) گرانیتوئیدها استوار هستند. بر اساس این بررسی‌ها، گرانیتوئیدهای نوع S با مقدار εNd_i با مقدار εNd_i (نمفی) و نسبت εSr⁸⁷/⁸⁶Sr_i (بالا ۰/۷۶۵ تا ۰/۷۰۸) و گرانیتوئیدهای نوع I با εNd_i (بالا (۰/۷۰۶ تا ۰/۷۰۴) از یکدیگر شناخته می‌شوند. همچنین بر اساس پهنه زمین‌ساختی پیدایش ماگما، گرانیتوئیدهای گروه I همراه با مجموعه کانی‌شناسی بیوتیت و هورنبلند و نوع S به صورت گرانیت‌های دو میکایی دیده می‌شوند (Pitcher et al., 1983). از دیدگاه کانی‌های مغناطیسی، گرانیت‌ها در دو گروه مگنتیت و یا مگنتیت/ایلمینیت و گروه ایلمینیت رده‌بندی شده‌اند (Ishihara, 1977). گرانیت‌های گروه مگنتیت با ویژگی مغناطیسی بالا، بیشترین همخوانی را با گرانیت‌های گروه I نشان می‌دهند؛ اما گرانیت‌های گروه ایلمینیت با ویژگی مغناطیسی کم با گرانیت‌های نوع S همخوانی دارند (Takahashi et al., 1980; Ellwood and Wenner, 1981) از سوی دیگر، بیشتر نهشته‌های قلع پورفیری با گرانیت‌های گروه ایلمینیت (نوع S) همراه هستند (Ishihara, 1977; Chappell et al., 2002). فراوانی قلع در این گروه از گرانیت‌ها نزدیک به ۲۰ تا ۳۰ برابر بیشتر از گرانیت‌های معمولی و ۲ تا ۳ برابر بیشتر از میانگین فراوانی قلع در پوسته است (Lehmann, 1987; Heinrich, 1990; Solomon et al., 1994)؛ به گونه‌ای که گرانیت‌های قلع دار نادگرسان می‌توانند تا (Lehmann, 1990) ppm ۱۸-۲۶ داشته باشند.

Xishan (جنوب چین)، Yinyan (جنوب چین)، Wagone (میانمار، تایلند)، Mawchi (میانمار، تایلند)، Cornubian (انگلیس) و Ervedosa (پرتغال) مقایسه شده‌اند.

می‌شود. همچنین، برای بررسی بیشتر متالوژنی قلع در این پهنه و نیز در ارتباط با گرانیتهای نوع S، داده‌های گرانیتهای نوع S پهنه همدان-سیرجان با داده‌های زمین‌شیمیابی، ایزوتوپی و سن‌سنگی برخی گرانیتوئیدهای دارای Sn در جهان (مانند:



شکل ۱. نقشه ساده شده زمین‌شناسی ایران و کوهزاد زاگرس (با تغییراتی پس از لوگارزیک و همکاران (Le Garzic et al., 2019))

Fig. 1. Simplified geological map of Iran and Zagros Orogen (modified after Le Garzic et al. (2019))

ایران مرکزی (شامل بلوک‌های بیزد، طبس و لوت)، البرز و سبزوار، خاور ایران، پهنه کپه‌داغ و مکران (شکل ۱). کوهزاد زاگرس که بخش مرکزی بزرگ پهنه هم‌گرایی آلب-هیمالیاست، از مدیترانه باختری تا شمال عراق و سپس شمال باختری ایران تا تنگه هرمز، عمان و هیمالیا گسترش دارد (Agard et al., 2005; Ajirlu et al., 2016).

زمین‌شناسی

به دنبال سرگذشت و فرایندهای زمین‌شناسی پیچیده، سرزمین ایران دربردارنده واحدهای ساختاری گوناگونی است که عبارتند از (Alavi, 1994; Mohajjal and Fergusson, 2014) کوهزاد زاگرس (شامل کمرنگ چین‌خورده و رورانده زاگرس)، پهنه افیولیتی بیرونی، پهنه SaSZ، پهنه افیولیتی درونی و پهنه ماگمایی ارومیه-دختر)، ایران مرکزی (شامل خردقاره شرق-

دگرگونی ۱۶۸ (میلیون سال پیش) (Monfaredi et al., 2020)، شیل‌ها تا رخساره شیست سبز (و آمفیولیت) دگرگون شده و با اسلیت، فیلیت و شیست دگرگون شده‌اند (Shahbazi et al., 2010; Mahmoudi et al., 2011; Sheikhholeslami, 2015; Shakerardakani et al., 2015; Fergusson et al., 2016; Sepahi et al., 2018; Hemmati et al., 2018; Monfaredi et al., 2020; Azizi et al., 2020).

روش مطالعه

مجموعه‌ای از داده‌های زمین‌شیمیایی (عنصرهای اصلی، کمیاب و خاکی کمیاب)، داده‌های ایزوتوپی ($^{87}\text{Sr}/^{86}\text{Sr}$) و سن‌سنجدی ($\text{Nd}_{\text{U}}/\text{Nd}_{\text{Pb}}$) زیرکن، به همراه داده‌های زمین‌فیزیکی (مغناطیس‌سنجدی هوایی) و داده‌های دور‌سنجدی برای گرانیتوئیدهای ژوراسیک پنهان SaSZ (شامل همدان، الوند، ملایر، آستانه (شازند)، بروجرد (نظام‌آباد)، الیگودرز، کلاه‌فاضی، نیریز (قرمی) و جیرفت-سرگز) گردآوری شدند. این مجموعه داده شامل فراوانی عنصرهای اصلی، کمیاب و خاکی کمیاب از بیش از ۷۰ نمونه سنگی به همراه داده‌های ایزوتوپی ($^{87}\text{Sr}/^{86}\text{Sr}$) و داده‌های سن‌سنجدی ($\text{Nd}_{\text{U}}/\text{Nd}_{\text{Pb}}$) زیرکن در بیش از ۲۵ نمونه است. گزیده‌ای از داده‌های سن‌سنجدی و ایزوتوپی و زمین‌شیمیایی در جدول‌های ۱ و ۲ آمده است.

این سنگ‌ها شامل سنگ‌هایی با ترکیب حد وسط تا اسیدی (گرانیت، گرانودیوریت، دیوریت، گابرو‌دیوریت و مونزونیت) هستند (Khalaji et al., 2007; Shahbazi et al., 2010; Tahmasbi et al., 2010; Ahadnejad et al., 2011; Esna-Ashari et al., 2012; Chiu et al., 2013; Bayati et al., 2017; Zhang et al., 2018; Yang et al., 2018). در این پژوهش، تنها داده‌های سن‌سنجدی زیرکن (U-Pb) داده‌های ایزوتوپی Sr و Nd و زمین‌شیمیایی (عنصرهای اصلی، کمیاب و خاکی کمیاب)، نمونه‌هایی که به روش آماده‌سازی ذوب با لیتیم متاورات تجزیه و محلول‌سازی و با دستگاه‌های LA-ICP-MS، ICP-MS، XRF در آزمایشگاه‌های معترض

در پی کوهزاد زاگرس و رویداد فرایندهای شکافت و بسته‌شدن پوسته اقیانوسی نئوتیس میان بلوك SaSZ و عربی Berberian and King, 1981; Alavi, 1994; Mohajjal et al., 2003; Ghasemi and Talbot, 2006; Mohajjal (and Fergusson, 2014; Fergusson et al., 2016) در بخش خاوری گسل تراست زاگرس، دچار دگریختی‌های گسترده‌ای شده و مجموعه‌ای از سنگ‌های دگرگونی-ماگمایی در آن پدید آمده است (Mehdipour, 2015) (شکل ۱). از این‌رو، پنهان SaSZ که در بخش شمال‌خاوری کوهزاد زاگرس جای دارد، کمریندی دگرگونی-ماگمایی است که با سنگ‌های دگرگونی و دگریخت و پلوتون‌ها و گدازه‌های کالک‌آلکالن مزوژوئیک شناخته می‌شود (Agard et al., 2011). بر اساس داده‌های سن‌سنجدی (۵۲۶-۵۹۶ میلیون سال پیش) روی پی‌سنگ پنهان Hassanzadeh et al., 2008; Hassanzadeh et al., 2008; Jamshidibadr et al., 2013; Safarzadeh et al., 2016; Shabanian et al., 2018; Daneshvar et al., 2019) در بخش‌های گوناگون (شمال‌باخته) سقز، سورسات، موته، ازنا، گل‌گهر) که از سنگ‌های دگرگونی، آذرین و رسوبی ساخته شده‌اند، بخشی از مرز جنوب‌باخته قاره سیمیرین¹ دانسته می‌شود (Stampfli et al., 2002; Fergusson et al., 2016). در دوران مزوژوئیک، پنهان SaSZ مرزی فعال قاره‌ای با ماگماتیسم کالک‌آلکالن دانسته شده است (Agard et al., 2005; Agard et al., 2011; Berberian and King, 1981) (Fergusson et al., 2016) (در فرایند کوهزادی سیمیرین (در ژوراسیک آغازین تا میانی) و فروزانش پوسته اقیانوسی، جای‌گیری و نفوذ توده‌های آذرین درونی مزوژوئیک در ۱۷۰ تا ۱۴۵ میلیون سال پیش ((دگرگونی همبری در ۱۶۸ میلیون سال پیش، (Monfaredi et al., 2020)، این پنهان برخوردي دچار دگرگونی و دگریختی ((دگرگونی ناحیه‌ای در پیش از ۱۷۰ میلیون سال پیش (Shakerardakani et al., 2015) شده است (Agard et al., 2011) (از این‌رو، افزون‌بر پیدایش هاله‌های

1. Cimmerian

مانند ACME وغیره) تجزیه شده‌اند، به کار برده شد. همچنین، برای بررسی باروری Sn، از داده‌های به دست آمده برای گرانیتوئیدهای دارای Sn جهان (جنوب ۲. (انگلیس) و Ervedosa (پرتغال) استفاده شده است (جدول ۲).
Wagone (چین)، Yinyan (جنوب چین)، Xishan (چین)، Cornubian (میانمار، تایلند)، Mawchi (میانمار، تایلند)، (انگلیس) و Yanbei (جنوب ۲).

جدول ۱. داده‌های سن‌سنگی و ایزوتوپی گرانیتوئیدهای ژوراسیک (۱۷۸-۱۶۰ میلیون سال پیش) پهنه SaSZ

Table 1. Geochronological and isotopic data from Jurassic (178-160 Ma) granitoids of SaSZ

Location	Rock Type	U-Pb Age (Ma)	$(^{87}\text{Sr}/^{86}\text{Sr})_i$	$(^{143}\text{Nd}/^{144}\text{Nd})_i$	ϵNd_i	TDM	Reference
W Hamadan	Granite	171	N.A.	N.A.	N.A.	N.A.	Zhang et al. (2018)
		168	N.A.	N.A.	N.A.	N.A.	
Alvand (Hamadan)	Granite	167	N.A.	N.A.	N.A.	N.A.	Chiu et al. (2013)
		165	N.A.	N.A.	N.A.	N.A.	
	Leucogranite	164	N.A.	N.A.	N.A.	N.A.	
		163-161	0.719380	0.512257	-3.3	1200	
	Granite	163-161	0.709240	0.512312	-2.3	1130	
		164	0.708830	0.512252	-3.4	1220	
	Granite	161	0.706990	0.512375	-1.1	1030	Shahbazi et al. (2010)
		154	0.713010	0.512260	-3.5	1230	
	Granite	154	0.713770	0.512210	-4.5	1310	
		154	0.712730	0.512259	-3.5	1230	
Malayer	Syenogranite	184	0.709440	0.512230	-3.4	1132	Ahadnejad et al. (2011)
		184	0.710870	0.512190	-4.3	1269	
	Diorite	174	0.708560	0.512280	-2.7	955	
		170	0.709210	0.512260	-2.6	1124	
	Granodiorite	170	0.708550	0.512230	-3.7	1152	
		169	0.708770	0.512300	-2.3	1092	
	Tonalite	162	0.707970	0.512160	-4.9	1330	
		162	0.708580	0.512190	-4.6	1252	
Astaneh (Shazand)	Granodiorite	171	0.708240	0.512124	5.8	1370	Tahmasbi et al. (2010)
		171	0.708420	0.512143	5.4	1350	
	Qtz-diorite	171	0.708040	0.512110	6.0	1390	
Nezam Abad (Boroujerd)	Monzogranites	172	0.706300	0.512260	-3.0	1006	Khalaji et al. (2007)
		172	0.706600	0.512250	-3.3	869	
	Granodiorite	171	0.706600	0.512240	-3.5	867	
		171	0.706200	0.512230	-3.6	1135	
	Quartz diorite	170	0.707400	0.512260	-3.1	1269	
Ali goodarz	Granodiorite	170	N.A.	N.A.	N.A.	N.A.	Zhang et al. (2018)
		167	N.A.	N.A.	N.A.	N.A.	
	Granodiorite	165	0.710100	0.512140	-5.5	1450	Esna-Ashari et al. (2012)
		165	0.710100	0.512150	-5.4	1410	
	Granite	165	0.709700	0.512180	-4.8	1530	
		165	0.711000	0.512160	-5.3	2420	

۱۵۴ جدول ۱. داده‌های سن‌سنجی و ایزوتوپی گرانیتوئیدهای ژوراسیک (۱۶۰-۱۷۸ میلیون سال پیش) پهنه SaSZ

Table 1 (Continued). Geochronological and isotopic data from Jurassic (178-160 Ma) granitoids of SaSZ

Location	Rock Type	U-Pb Age (Ma)	$(^{87}\text{Sr}/^{86}\text{Sr})_i$	$(^{143}\text{Nd}/^{144}\text{Nd})_i$	ϵNd_i	TDM	Reference
Kolah-Ghazi	Monzogranite	167-175	N.A.	N.A.	N.A.	N.A.	Bayati et al. (2017)
	Granite	165	N.A.	N.A.	N.A.	N.A.	Chiu et al. (2013)
Qhory (Neyriz)	Granite	175	N.A.	N.A.	N.A.	N.A.	
		173	N.A.	N.A.	N.A.	N.A.	Yang et al. (2018)
		170	N.A.	N.A.	N.A.	N.A.	
Jiroft-Sargaz	Granite	175	N.A.	N.A.	N.A.	N.A.	Chiu et al. (2013)

جدول ۲. گزیده‌ای از داده‌های زمین‌شیمیایی گرانیتوئیدهای ژوراسیک (۱۶۰-۱۷۸ میلیون سال پیش) پهنه SaSZ و نمونه‌هایی از گرانیتوئیدهای قلع پورفیری جهان

Table 2. Representative geochemical data of Jurassic (178-160 Ma) granitoids of SaSZ and some source granitoids of porphyry Sn deposits in the world

Location	Age (Ma)	$(^{87}\text{Sr}/^{86}\text{Sr})_i$	ϵNd_i	Rb	Sr	Y	Ba	$(\text{Eu/Eu})_N$	References
Yanbei (S. China)	114	0.711	-5	685	21	97.9	87	0.037	
				710	32	93	89	0.036	
				690	31	95	93	0.038	Liu et al. (1999)
				712	26	98	78	0.047	
				821	20	100.9	87	0.050	
Yinyan (S. China)	77	0.719	-6	670	13	90.7	14.8	0.003	
				689	14	90	12	0.007	Zhengshu et al. (1989);
				650	12	154	8	0.003	Zheng et al. (2016); Hu et al. (2020)
				590	13	120	7	0.005	
				750	19	108	12.1	0.006	
Xishan China)	79	0.718	-5	772	4	174	5.7	0.003	
				776	4.2	130	5.7	0.004	
				1065	7.1	220	13.5	0.004	Zhang et al. (2017)
				924	7	161	10.3	0.004	
				1015	4.8	181	11.2	0.005	
Wagone (Myanmar, Thailand)	75	0.713	-5	1005	4.5	135	7.5	0.004	
				588	19	69.3	90	0.092	
				590	22	67	89	0.088	
				340	21	33.5	71	0.075	Li et al. (2018)
				630	26	63.3	78	0.137	
Mawchi (Myanmar, Thailand)	42	0.713	-7	583	21	158.5	89	0.037	
				961	17	152	11	0.026	
				870	18	147	14	0.022	
				850	16	149	13	0.025	Myint et al. (2017)
				902	18	145	12	0.024	
Cornubian (England)	280	0.713	-7	685	17	147	24	0.022	
				657	51		68	0.075	
				689	46		80	0.079	Darbyshire and Shep (1994); Simons et al.
				676	42		78	0.090	
				-6.4	732	32	63	0.157	(2016)
				712	38		78	0.089	

ادامه جدول ۲. گزیده‌ای از داده‌های زمین‌شیمیایی گرانیت‌های ژوراسیک (۱۷۸-۱۶۰ میلیون سال پیش) پهنه SaSZ و نمونه‌هایی از گرانیت‌های
قلع پورفیری جهان

Table 2 (Continued). Representative geochemical data of Jurassic (178-160 Ma) granitoids of SaSZ and some source granitoids of porphyry Sn deposits in the world

Location	Age (Ma)	($^{87}\text{Sr}/^{86}\text{Sr}$) _i	ϵ_{Nd}	Rb	Sr	Y	Ba	(Eu/Eu) _N	References
Ervedosa (Portugal)	327	0.7158	0.7157	598	27	46	89	0.155	Gomes and Neiva (2000)
				589	25		86	0.192	
				545	26	43	90	0.187	
				578	27	42	89	0.180	
				500	29	46	66	0.170	
W-Hamadan (Iran)	168			194	245	30	729	0.582	Zhang et al. (2018)
				161	418	32.7	765	0.631	
				167	294	33.5	129	0.573	
				180	91	20.8	212	0.375	
				163	167	26.2	469	0.406	
				166	170	19.8	460	0.341	
				175	168	21.1	480	0.582	
Malayer (Iran)	170	0.709	-3	134	320	15	1150	0.391	Ahadnejad et al. (2011)
				88	347	23.4	355	0.447	
				77	231	30.2	361	0.457	
				87	142	42	162	0.339	
				96	160	17.7	292	0.774	
				86	141	16.9	286	0.719	
Aligoodarz (Iran)	165	0.71	-5	137	113	20.9	345	0.494	Esna-Ashari et al. (2012); Zhang et al. (2018)
				104	192	37.4	348	0.257	
				141	124	27.1	347	0.370	
				130	138	23.1	291	0.556	
				166	146	22	406	0.517	
				151	107	29.3	401	0.546	
				137	113	20.9	345	0.494	
				104	192	37.4	348	0.323	
				82	206	23.6	259	0.487	
Alvand (Iran)	167-171	0.709-0.710	-3	163	134	44	387	0.287	Shahbazi et al. (2010); Chiu et al. (2013); Zhang et al. (2018)
				148	151	10.9	667	0.473	
				248	140	54.4	178	0.534	
				190	160	17	130	0.616	
				198	160	27.3	800	0.252	
Boroujerd (Iran)	169.6	0.708	-3.5	79	197	18.4	236	0.671	Khalaji et al. (2007)
				101	388	19.8	454	0.648	
				88	347	23.4	355	0.484	
				143	330	37.4	853	0.277	
				77	231	30.2	361	0.457	
				72	361	14.7	306	0.983	
				72	355	14.8	318	0.971	
				105	424	16.6	518	0.828	
				100	433	19.1	588	0.883	
				120	438	18.7	628	0.924	

et al., 2020) از ویژگی‌های زمین‌شناسی است که نشان

می‌دهند گرانیتوئیدهای پهنه SaSZ پیامد مagmaی در یک محیط برخورد قاره‌ای طی کوه‌زایی سیمیرین هستند؛ در حالی که اگر این گرانیتوئیدها پیامد magmaی در پهنه فروزانش و متعلق به نوع I بودند، در آن مقطع زمانی سنگ‌های آتشفسانی نیز تشکیل می‌شدند.

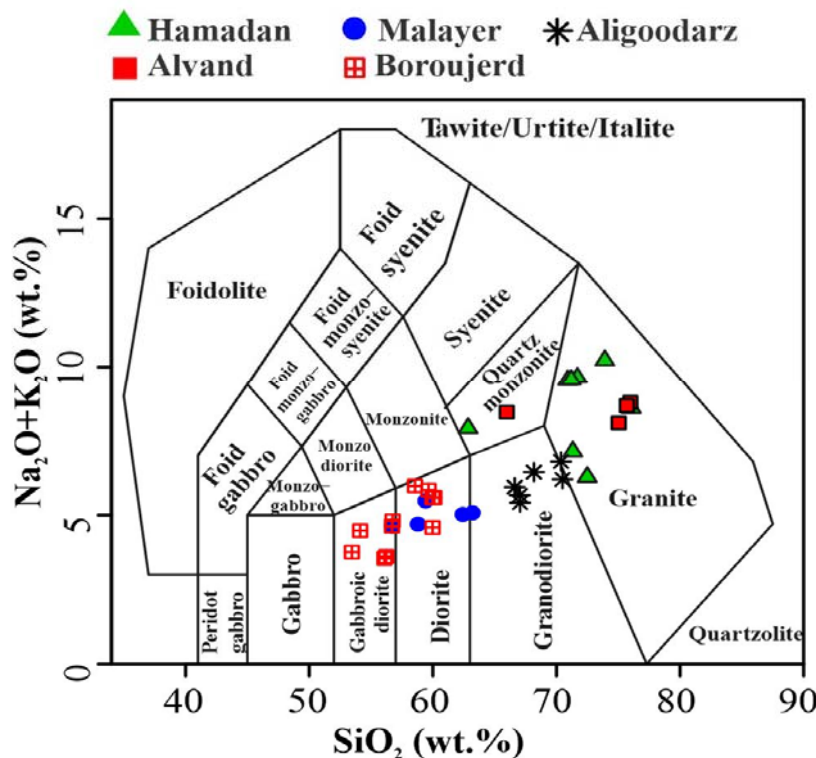
(ب) داده‌های زمین‌شیمیایی عناصر و ترکیب ایزوتوپی در پهنه SaSZ (همدان، الوند، ملایر، بروجرد، الیگودرز، کلاه‌قاضی، نیریز (قویری) و جیرفت-سرگز) (شکل ۱) گرانیتوئیدها با محدوده ترکیبی SiO_2 برابر با ۵۵ تا ۷۵ درصد وزنی و مجموع آلکالی‌ها ($\text{Na}_2\text{O}+\text{K}_2\text{O}$) برابر با ۴ تا ۱۰ درصد وزنی در گروه دیوریت گابروئیک، دیوریت، گرانودیوریت، کوارتزمونزونیت، تا گرانیت رده‌بندی می‌شوند (شکل ۲).

بحث

تعیین خاستگاه و پهنه تکتونوماگمایی گرانیتوئیدها

(الف) ویژگی‌های زمین‌شناسی منطقه

تشکیل توده‌های گرانیتوئیدی با ابعاد بزرگ (باتولیت) در پی ذوب پوسته قاره‌ای (Healy et al., 2004; Celebens et al., 2017) و در اعماق بیشتر از ۴ کیلومتر همراه با نبود سنگ‌های آتشفسانی و عدم پیدایش کمان آتشفسانی، رخداد دگرگونی ناحیه‌ای در حد رخساره شیست سبز (و آمفیبولیت) در پی فرایندهای کوه‌زایی سیمیرین (Ricou, 1994; Stampfli and Borel, 2002; Fergusson et al., 2016) در نتیجه پیدایش سنگ‌های دگرگونی مانند اسلیت، فیلت و شیست (Shahbazi et al., 2010; Mahmoudi et al., 2011; Sheikholeslami, 2015; Shakerardakani et al., 2015; Fergusson et al., 2016; Sepahi et al., 2018; Hemmati et al., 2018; Azizi et al., 2020; Monfaredi

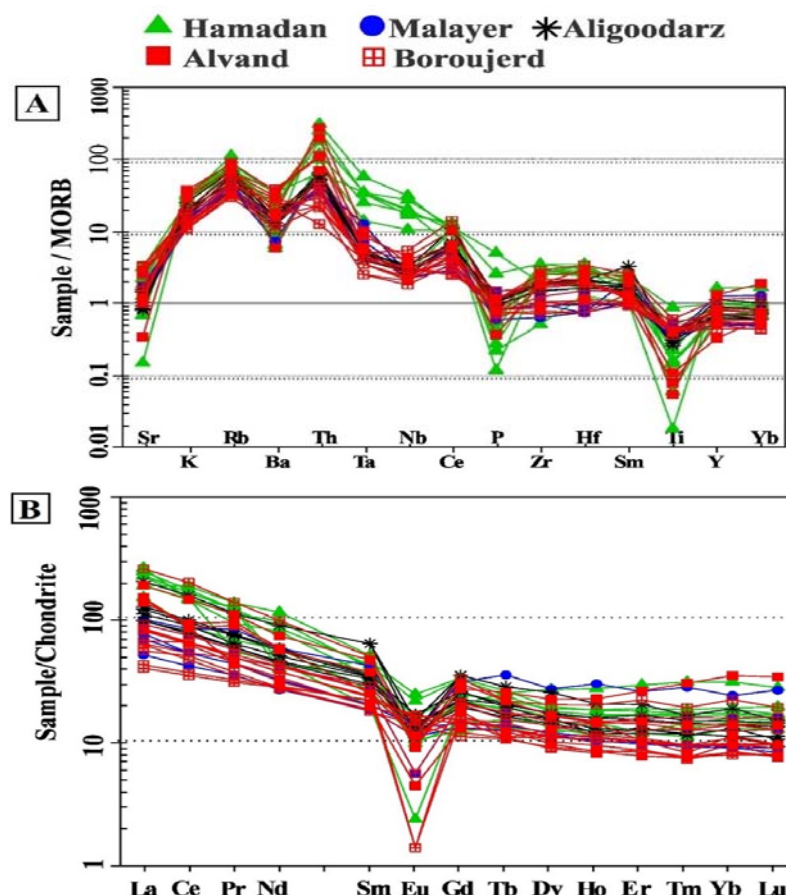


شکل ۲. گرانیتوئیدهای ژوراسیک (۱۶۰-۱۷۸ میلیون سال پیش) پهنه SaSZ در نمودار رده‌بندی SiO_2 در برابر $\text{Na}_2\text{O}+\text{K}_2\text{O}$ (Middlemost, 1994)

Fig. 2. Jurassic (178-160 Ma) granitoids of SaSZ in SiO_2 versus $\text{Na}_2\text{O}+\text{K}_2\text{O}$ classification diagram (Middlemost, 1994)

الگوی فراوانی عنصرهای کمیاب و خاکی کمیاب در نمونه‌های گرانیتوئید ژوراسیک همدان، الوند، ملایر، بروجرد، الیگودرز، کلاه‌قاضی، نیریز (قری) و جیرفت-سرگز در نمودار بهنجارشده کندریت، این سنگ‌ها غنی‌شدگی از LREE^۳، الگوی کم‌ویش مسطح HREE^۴، ناهنجاری منفی یوروپیم (۰/۱ - ۱) و مسطح (La/Yb)_N متغیر از ۵ تا ۱۵ نشان می‌دهند (شکل ۳).

الگوی فراوانی عنصرهای کمیاب و خاکی کمیاب در نمونه‌های گرانیتوئید ژوراسیک همدان، الوند، ملایر، بروجرد، الیگودرز، کلاه‌قاضی، نیریز (قری) و جیرفت-سرگز در نمودار بهنجارشده به ترکیب MORB^۱ (شکل A-۳)، همانند سنگ‌هایی با خاستگاه پوسته‌ای است و در آن عنصرهای LFSE^۲ و HFSE^۳



شکل ۳. گرانیتوئیدهای ژوراسیک (۱۷۸-۱۶۰ میلیون سال پیش) پهنه SaSZ در A: نمودار بهنجارشده به ترکیب MORB (مقادیر بهنجارسازی بر گرفته از پرس (Pearce 1983) و B: نمودار بهنجارشده به ترکیب کندریت (مقادیر بهنجارسازی بر گرفته از بوینتون (Boynton 1984))

Fig. 3. Jurassic (178-160 Ma) granitoids of SaSZ in A: MORB-normalized diagram (normalization values are from Pearce (1983)) and B: Chondrite-normalized diagram (normalization values are from Boynton (1984))

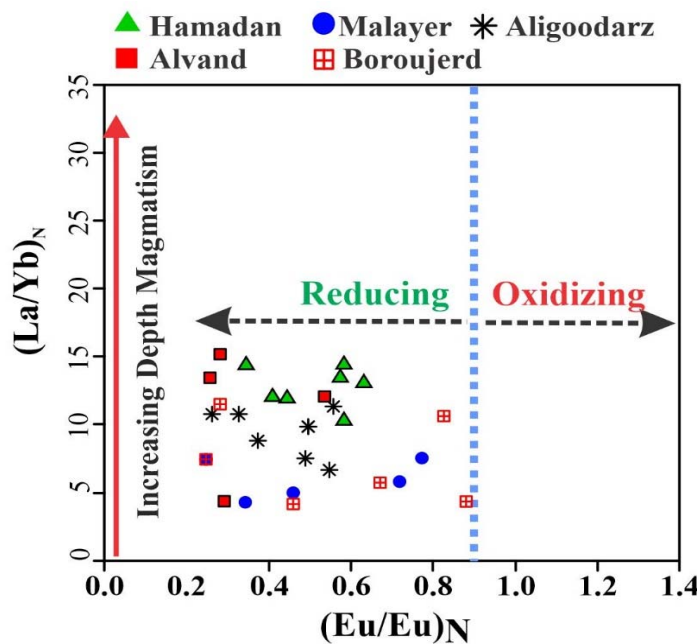
اکسیژن و کاهیدگی و شرایط احیایی مذاب (مانند مذاب‌های آناتکسی سری ایلمینیت پیشنهادی ایشیهارا (Ishihara, 1977)

مقدار کم N (Eu/Eu) (۰/۹ - ۱) و آنومالی بهشدت منفی Eu (شکل ۳-B) به علت پیدایش مانگما در شرایط فوگاسیته کم

1. Mid Ocean Ridge Basalt
2. Low Field Strength Elements
3. High Field Strength Elements

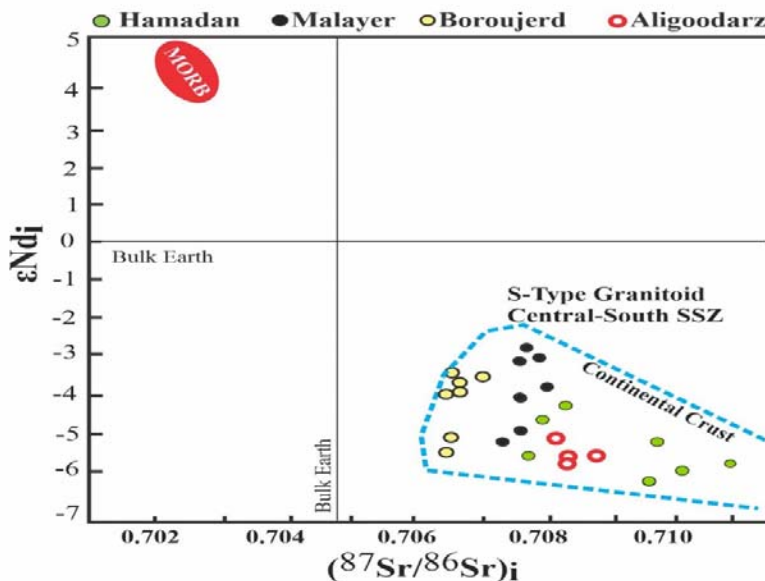
4. Light Rare Earth Elements
5. Heavy Rare Earth Elements

و آناتکسی نوع S هستند (شکل‌های ۴ و ۵) که از ذوب‌بخشی پوسته قاره‌ای ضخیم شده در حاشیه فعال قاره پدید آمده‌اند. مقدارهای بالای ϵ_{Nd_i} (> 0.707) (جدول ۱) و مقدارهای کم و منفی ϵ_{Nd_i} (< -2) (جدول ۱) نشان‌دهنده شباهت مذاب سازنده نمونه‌های بررسی شده به مذاب‌های احیایی



شکل ۴. گرانیتوئیدهای ژوراسیک (۱۶۰-۱۷۸ میلیون سال پیش) پهنه SaSZ در نمودار $(\text{Eu}/\text{Eu})_N$ در برابر $(\text{La}/\text{Yb})_N$

Fig. 4. Jurassic (178-160 Ma) granitoids of SaSZ in $(\text{Eu}/\text{Eu})_N$ versus $(\text{La}/\text{Yb})_N$ plot



شکل ۵. گرانیتوئیدهای ژوراسیک (۱۶۰-۱۷۸ میلیون سال پیش) پهنه SaSZ در نمودار $(^{87}\text{Sr}/^{86}\text{Sr})_i$ در برابر ϵ_{Nd_i}

Fig. 5. Jurassic (178-160 Ma) granitoids of SaSZ in $(^{87}\text{Sr}/^{86}\text{Sr})_i$ versus ϵ_{Nd_i} plot

-۶ Kazemi et al., 2019; (al., 2019) دیده می‌شود (شکل ۶). مرز باختری پهنه SaSZ با گسل اصلی رورانده زاگرس شناخته می‌شود (شکل ۱). بر اساس نقشه پذیرفتاری مغناطیسی ایران (Teknik and Ghods, 2017)، آنماهی‌های مغناطیسی در راستای این گسل رورانده در بخش باختری آن بسیار اهمیت دارد و چسباً نشان‌دهنده وجود برخی سنگ‌های ماگمایی (برای نمونه، بقایای پوسته اقیانوسی پالاآوتیس و کمان‌های آتشفسانی تریاس پایانی-ژوراسیک آغازین) در زیر این روراندگی هستند. بر اساس تفاوت مذاب گرانیتوئیدهای نوع S با I از نظر پذیرفتاری مغناطیسی و شرایط کاهیدگی اکسیژن، رسم نموداری برپایه ترکیب Eu/Eu_N (گرانیتوئیدها در برابر پذیرفتاری مغناطیسی آنها بخوبی این دو گروه گرانیتوئیدی را از یکدیگر تفکیک می‌کند (شکل ۶-B). بر اساس این نمودار، گرانیتوئیدهای نوع S که مذاب سازنده آنها در شرایط احیایی پدید می‌آید با Eu/Eu_N کمتر از $0/8$ و پذیرفتاری مغناطیسی کمتر از $10^{-5} \times 100$ (SI) (سری ایلمنیت) شناخته می‌شوند؛ اما گرانیتوئیدهای نوع I با ماگمای سازنده اکسایشی N (Eu/Eu_N) بیشتر از $0/8$ و پذیرفتاری مغناطیسی بیشتر از $10^{-5} \times 100$ (SI) (سری مگنتیت) دارند (شکل ۶-B). به این ترتیب می‌توان گفت در پهنه SaSZ، وجود گرانیتوئیدهای نوع S، افزایش ضخامت پوسته قاره‌ای و رویداد دگرگونی ناحیه‌ای در پی رویداد کوه‌زایی سیمیرین با رویداد یک رژیم برخوردی و پوسته قاره‌ای خاصیت شده در 160 میلیون سال پیش همخوانی دارند. چکیده‌ای از ویژگی‌های زمین‌شناسی، زمین‌فیزیکی و زمین‌شیمیایی توده‌های گرانیتوئیدهای پهنه SaSZ در مقایسه با گرانیتوئیدهای نوع I و S جهان در جدول ۳ آمده است. بر اساس این ویژگی‌ها، نبود کمان آتشفسانی و سنگ‌های آتشفسانی، پذیرفتاری مغناطیسی هواپیمایی یا پذیرفتاری مغناطیسی کمی دارند که می‌توانند نشان‌دهنده تعلق آنها به گرانیتوئیدهای گروه ایلمنیت باشند؛ در حالی که گرانیت‌های نوع I و A که بیشترین گستردگی را در پهنه سنتنچ تا همدان دارند، پذیرفتاری مغناطیسی بالاتری دارند (شکل A-۶). البته بیشترین پذیرفتاری مغناطیسی در Golestan et al., 2018; Raeisi et

ج) داده‌های زمین‌فیزیکی

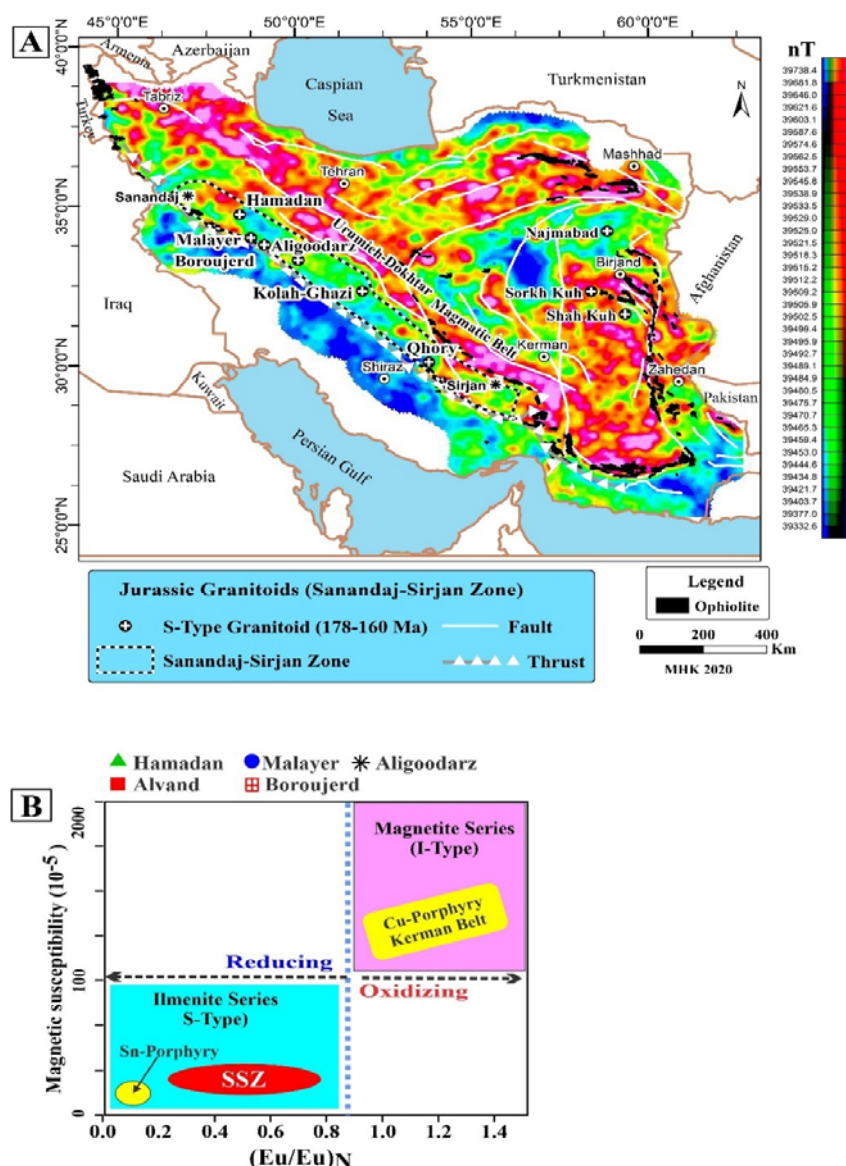
بر اساس داده‌های زمین‌فیزیکی، بیشترین ضخامت پوسته قاره‌ای در پهنه SaSZ (۵۲-۵۶ کیلومتر) (Jiménez-Munt et al., 2012) در بخش مرکزی تا جنوبی این پهنه و از همدان تا سیرجان دیده می‌شود. با توجه به این نکه و نیز داده‌های سن‌سنگی گرانیتوئیدهای ژوراسیک این پهنه (۱۷۸ تا ۱۶۰ میلیون سال پیش)، این پهنه را می‌توان یک پهنه برخورد قاره‌ای با ضخیم شدگی پوسته قاره‌ای در پی رویداد کوه‌زایی سیمیرین دانست.

پذیرفتاری مغناطیسی برای گرانیت‌ها بسیار متغیر است و از 10^{-6} در گرانیت‌های لویکوکراتیک تا 10^{-2} در گرانودیوریت‌ها و تونالیت‌ها متغیر است. همان‌گونه که پیشتر گفته شد، بر اساس میزان کانی‌های مغناطیسی، گرانیت‌های نوع I و S به ترتیب با گروه مگنتیت و یا مگنتیت-ایلمنیت و گروه لیلمنیت (Takahashi et al., 1977) همخوانی دارند (Ishihara 1980). گرانیت‌های گروه مگنتیت که پذیرفتاری مغناطیسی بالاتر از $10^{-5} \times 100$ (SI) نشان می‌دهند، در پهنه‌های فرورانش و شرایط اکسیداسیون بالاتر پدید می‌آیند و خاستگاه نهشته‌های طلا-مس پورفیری هستند؛ اما پوسته قاره‌ای و شرایط احیایی خاستگاه گرانیت‌های گروه ایلمنیت پذیرفتاری مغناطیسی کمتر از $10^{-5} \times 100$ (SI) نشان می‌دهند و می‌توانند خاستگاه نهشته‌های قلع پورفیری باشند. البته دگرسانی در سنگ از شناسایی و تفسیر درست پذیرفتاری مغناطیسی سنگ‌ها جلوگیری می‌کند.

بر اساس نقشه پذیرفتاری مغناطیسی ایران (Teknik and Ghods, 2017)، گرانیت‌های نوع S پهنه SaSZ شدت کل میدان مغناطیس هوایی یا پذیرفتاری مغناطیسی کمی دارند که می‌توانند نشان‌دهنده تعلق آنها به گرانیتوئیدهای گروه ایلمنیت باشند؛ در حالی که گرانیت‌های نوع I و A که بیشترین گستردگی را در پهنه سنتنچ تا همدان دارند، پذیرفتاری مغناطیسی بالاتری دارند (شکل A-۶). البته بیشترین پذیرفتاری مغناطیسی در محدوده ارومیه-دختر (Raeisi et

هستند. بر اساس این جدول می‌توان گفت گرانیتوئیدهای بازه زمانی ۱۷۸ تا ۱۶۰ میلیون سال پیش در پهنه SaSZ بیشترین هم‌پوشانی زمین‌شناسی، زمین‌فیزیکی و زمین‌شیمیایی را با گرانیتوئیدهای نوع S نشان می‌دهند.

قاره‌ای (شکل ۵) در پهنه برخوردی قاره‌ای هستند؛ اما پیدایش کمان آتشفشاری و سنگ‌های آتشفشاری، نبود سنگ‌های دگرگونی ناحیه‌ای، تشکیل استوک، پذیرفتاری مغناطیسی بیشتر از 10^{-5} A/m (سری مگتیت) و $87\text{Sr}/86\text{Sr}$ کمتر از $70/70$ از ویژگی‌های گرانیتوئیدهای نوع I وابسته به پهنه‌های فرورانش



شکل ۶. جایگاه گرانیتوئیدهای ژوراسیک در پهنه SaSZ و بلوک لوت روی A: نقشه مغناطیسی سنجی هوایی ایران (چرخش به قطب RTP; نقشه MHK 2020) و ب: نمودار $(\text{Eu}/\text{Eu})_{\text{N}}$ و مغناطیسی سنجی هوایی از تکنیک و قدس (Teknik and Ghods, 2017) در برابر پذیرفتاری مغناطیسی

Fig. 6. Location of Jurassic granitoid rocks along SaSZ and Lut Block are plotted on A: aeromagnetic map of Iran (rotation to pole RTP; aeromagnetic map from Teknik and Ghods (2017) and B: $(\text{Eu}/\text{Eu})_{\text{N}}$ versus magnetic susceptibility

جدول ۳. ویژگی‌های زمین‌فیزیکی، زمین‌شیمیایی، صحرایی و پهنه زمین‌ساختی ماگمای سازنده توده‌های گرانیتوئیدی ژوراسیک (۱۷۸-۱۶۰ میلیون سال پیش) در پهنه SaSZ در مقایسه با گرانیتوئیدهای نوع I و S

Table 3. Geophysical, geochemical, field relation, and tectonomagmatic setting of Jurassic (178-160 Ma) granitoids of SaSZ compared to type I and S granitoids

	Granitoids		
	I-Type	S-Type	SSZ (178-162 Ma)
Tectonic Setting	Subduction Zone	Continental Collision	Continental Collision
Volcanic Arc	Yes	No	No
Volcanic Rock	Yes	No	No
Orogeny	-	Yes	Cimmerian Yes
Regional Metamorphic Rocks	No	Yes	Slate & Schist
Depth of Emplacement	Volcanic & Sub-volcanic	Depth > 4 Km Deep Pluton	Depth > 4 Km Deep Pluton
Shape & Geometry ($^{87}\text{Sr}/^{86}\text{Sr}$);	Stock	Big Batholite	Big Batholite
Magnetic Susceptibility (SI)	Less than 0.706 $>100 \times 10^{-5}$ (SI)	Higher than 0.707 $<100 \times 10^{-5}$ (SI)	Higher than 0.707 $<100 \times 10^{-5}$ (SI)
Total Magnetic Intensity	Magnetite Series High	Ilmenite Series Low	Ilmenite Series Low

سیستم‌های گرمابی و پورفیری پدید می‌آیند (Lehmann, 1982; Neiva, 1984; Govett and Atherden, 1988; Neiva, 2002)، هر چند در مواردی پیدایش برخی از نهشته‌های Xu et al., 2017 و منابع آن). بنابراین، با توجه به اینکه کانی‌سازی قلع به گرانیت‌های نوع A و I نیز نسبت داده شده‌اند (Xu et al., 2017) و منابع آن) با گرانیت‌های سری ایلمنینت (نوع S) و کانی‌سازی پورفیری با گرانیتوئیدهای سری مگنتیت (نوع I) همراه هستند (Ishihara, 1977; Chappell and White, 2001; Neiva, 2002)، به سادگی نبود احتمال و استعداد رویداد کانی‌سازی مس پورفیری در ارتباط با این توده‌ها و محتمل بودن کانی‌سازی قلع اثبات می‌شود. با توجه به محتمل بودن کانی‌سازی قلع و برخی عنصرهای کمیاب دیگر (جدول ۴) در ارتباط با پیدایش گرانیتوئیدهای نوع S در پهنه SaSZ در بازاره زمانی ۱۷۸-۱۶۰ میلیون سال پیش، در ادامه به بررسی احتمال وجود محلول‌های گرمابی با بررسی دگرسانی گرانیتوئیدها بر اساس داده‌های ماهواره ASTER و نیز ترکیب زمین‌شیمیایی گرانیتوئیدها و رسوبات رودخانه‌ای مرتبط با آنها پرداخته می‌شود.

کانی‌سازی در گرانیتوئیدهای نوع S ژوراسیک پهنه SaSZ زراسوندی و همکاران (2019, 2020) بر اساس ترکیب برخی عنصرهای اصلی و نمودارهای قدیمی (مانند Chappell, 2001 (and White, 2001))، گرانیتوئیدهای پهنه SaSZ (برودر، آستانه و الیکودرز) را از نوع گرانیتوئیدهای نوع I دانسته‌اند؛ لذا به بررسی توان کانی‌سازی مس در ارتباط با این گرانیتوئیدها پرداخته‌اند و بر این باور هستند که پیدایش مذاب‌های بی‌آب برخاسته از گوشته تهی شده و شاید سنگ کره پوسته قاره‌ای زیرین و نبود جریان متمرکز سیال‌ها، علت روی‌ندادن کانی‌سازی مس در این مناطق بوده است. در حالی که بررسی داده‌های زمین‌شناسی، داده‌های زمین‌شیمیایی ایزوتوپی و زمین‌فیزیکی (شکل ۶A و B) که در بخش پیشین به آنها اشاره شد، به روشنی نشان می‌دهند ماگمای سازنده این گرانیتوئیدها از نوع S با خاستگاه پوسته قاره‌ای بوده و سرشت احیایی داشته است. از سوی دیگر، معمولاً سنگ‌های ماگمایی با ترکیب گرانیت نوع S در پهنه‌های زمین‌ساختی برخورداری فراوان‌ترین و معمول‌ترین خاستگاه نهشته‌های اولیه قلع هستند که در

جدول ۴. گزیده‌های از داده‌های عنصرهای کمیاب (بر اساس ppm) در گرانیتوئیدهای ژوراسیک (160-178 میلیون سال پیش) پهنه SaSZ

Table 4. Representative trace elements content (in ppm) of Jurassic (178-160 Ma) granitoids of SaSZ

Region	Sn	Cu	Pb	Zn	Reference
Hamadan	2	14	9	12	Zhang et al. (2018)
	4	12	12	16	
	3	19	8	11	
	2	18	16	19	
Malayer	2	15	25	32	Ahadnejad et al. (2011)
	2	12	18	26	
	3	13	22	35	
	2	11	27	19	
Aligoodarz	2	28	18	43	Esna-Ashari et al. (2012)
	3	13	15	28	
	2	25	12	25	
Boroujerd	3	12	20	41	Khalaji et al. (2007); Zhang et al. (2018)
	2	17	11	55	
	2	20	16	28	
Kolah-Ghazi	N.A.	30	24	63	Bayati et al. (2017)
	N.A.	28	15	45	
	N.A.	18	30	52	

N.A.: not analyzed

بررسی‌های پیشین ریچارد (Richards, 2015) فرسایش رو به پایین در باتولیت‌های ژوراسیک SaSZ را عامل نبود کانی‌سازی (مس) دانسته است؛ اما از آنجایی که در باتولیت‌های این پهنه آثار دگرسانی و کانی‌های کلریت، اپیدوت، سریسیت و کاٹولن دیده نمی‌شود (بر اساس تصویرهای ماهواره‌است)، شکل‌های ۸ تا ۱۱ پس سیستم‌های یادشده دچار فرسایش نشده‌اند، بلکه نبود محلول‌های کانی‌ساز و گرمابی عامل اصلی نبود کانی‌سازی در این منطقه هستند. از سوی دیگر، در همه کانسارت‌های قلع پورفیری، مس پورفیری و مولیبدن پورفیری، در بخش زیرین ذخیره، هنگام جدایش محلول‌های ماگمایی کوارتز با بافت ویژه رشد یک جهتی^۱ متابولور می‌شود؛ اما از آنجایی که در این پهنه رخنمون این بافت در سطح زمین گزارش نشده است، پس ماگما محلول کافی و مناسبی برای کانی‌زایی نداشته است.

(ب) بررسی کانی‌سازی بر اساس زمین‌شیمی رسوبات رودخانه‌ای

در منطقه همدان و ملایر، فراوانی عنصر قلع در رسوبات رودخانه‌ای مرتبط با توده آذرین و سنگ‌های دگرسان

الف) بررسی رخداد دگرسانی و وجود محلول‌های گرمابی

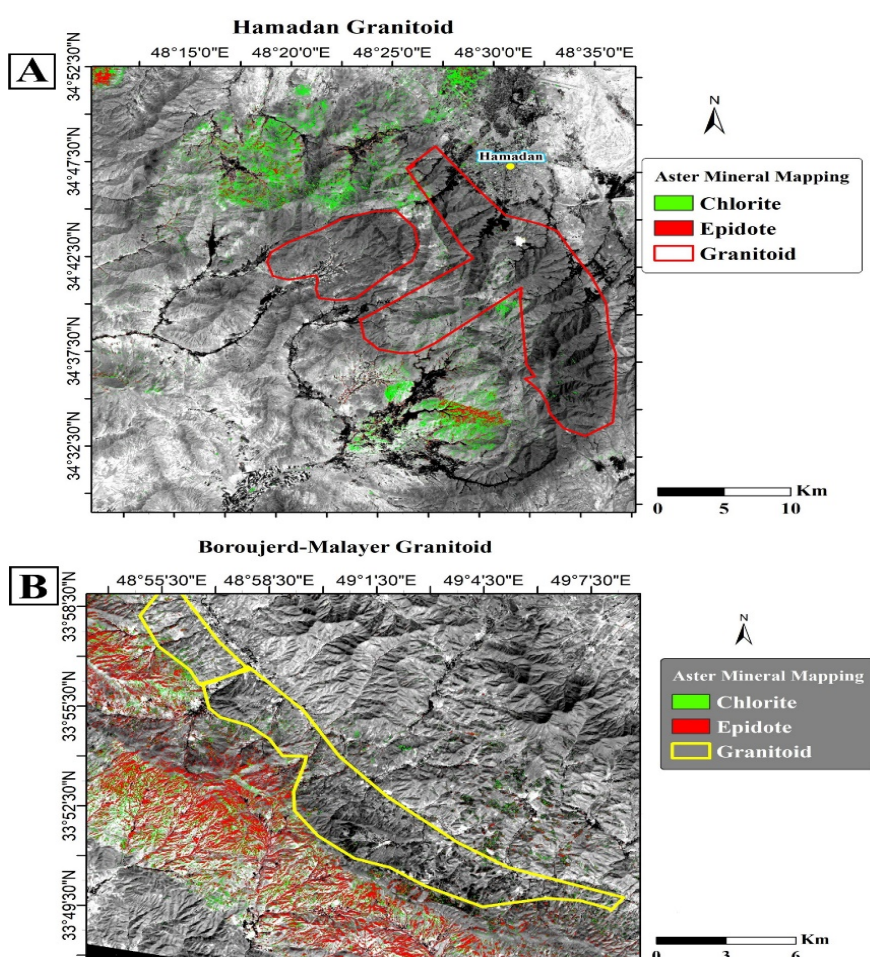
دگرسانی می‌تواند یانگر وجود محلول‌های گرمابی و رویداد کانی‌سازی باشد. یکی از روش‌های متداول در شناسایی رخداد دگرسانی، بررسی تصویرهای ماهواره‌ای لندست و ASTER و پردازش آنهاست. برای بررسی احتمال کانی‌سازی قلع در ارتباط با رویداد کوه‌زایی سیمیرین، از میان توده‌های آذرین درونی ژوراسیک مورد بررسی در این پژوهش، تصویرها و داده‌های ماهواره‌ای دو توده آذرین مناطق بروجرد-ملایر و همدان بررسی و به روش زاویه طیفی^۲ پردازش شدند. بررسی تصویرهای ماهواره‌ای ASTER این مناطق نشان می‌دهد، توده‌های آذرین یادشده دچار دگرسانی نشده‌اند و در آنها آثاری از پیدایش کانی‌های کلریت، اپیدوت (شکل A-۷ و B)، مسکویت (سریسیت) و کاٹولن دیده نمی‌شود. در واقع، آثار کلریت‌زایی و اپیدوت‌زایی دیده شده در سنگ‌های دگرسانی در برگیرنده گرانیتوئیدها، پیامد دگرسانی ناجیه‌ای آنها در حد رخساره شیسیت‌سیز است و ارتباطی با توده‌های آذرین ندارد. در

1. Spectral Angle Mapper (SAM)

2. UST or Unidirectional Solidification Texture

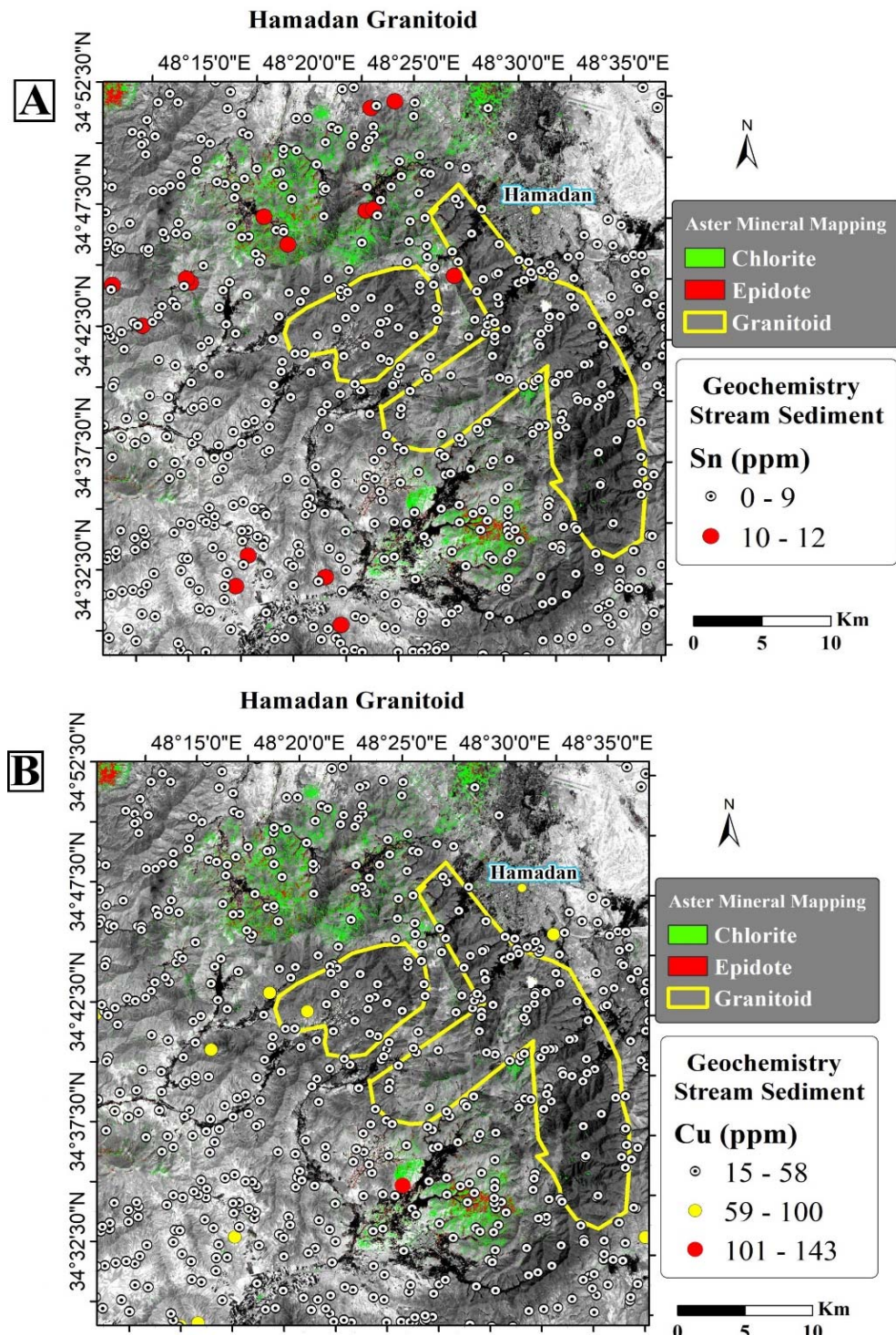
(B-11) در این منطقه دیده می‌شود. بر اساس پراکندگی فراوانی داده‌های زمین‌شیمیابی رسوب‌های رودخانه‌ای در منطقه بروجرد-ملایر و همدان (شکل‌های ۸ تا ۱۱) و داده‌های زمین‌شیمیابی گرانیتوئیدها (جدول ۴)، می‌توان گفت در مناطق بروجرد-ملایر و همدان، فراوانی عنصر قلع، مس، سرب و روی در گرانیتوئیدها در حد زمینه و عادی است و آنوهالی نشان نمی‌دهند؛ بنابراین درباره آنها هیچ فرایند کانی‌سازی روی نداده است.

در برگیرنده آنها کم (9 ppm در همدان) (شکل ۸) و بروجرد-ملایر (4 ppm) (شکل ۹) است و پراکندگی کم و بیش یکنواختی را نشان می‌دهد. تنها بهندرت در برخی سنگ‌های دگرگونی، فراوانی آن به 10 ppm (همدان؛ شکل ۸) رسیده است که البته این فراوانی با رویداد کلریت‌زایی و اپیدوت‌زایی در سنگ‌های دگرگونی رابطه منطقی نشان نمی‌دهد (شکل‌های ۸ و ۹). روند مشابهی درباره پراکندگی و فراوانی عنصرهای مس (شکل‌های ۸ و ۹)، سرب (شکل‌های ۱۰ و ۱۱) و روی (شکل‌های ۸ و ۹)



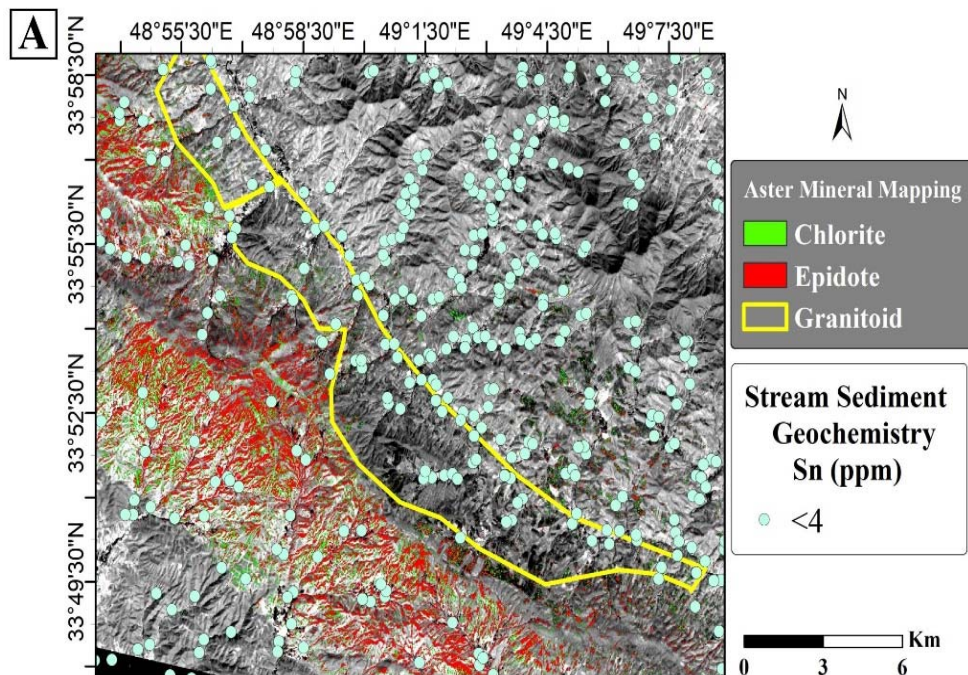
شکل ۷. تصویر ماهواره‌ای ASTER از پراکندگی کلریت‌زایی و اپیدوت‌زایی در مناطق A: همدان و B: بروجرد-ملایر (محدوده توده آذرین درونی در مان سنتگرهای دگرگون نشان داده شده است)

Fig. 7. ASTER images for distribution of chloritization and epidotization in A: Hamedan, and B: Boroujerd-Malayer areas (borders of intrusions among metamorphic rocks are shown)

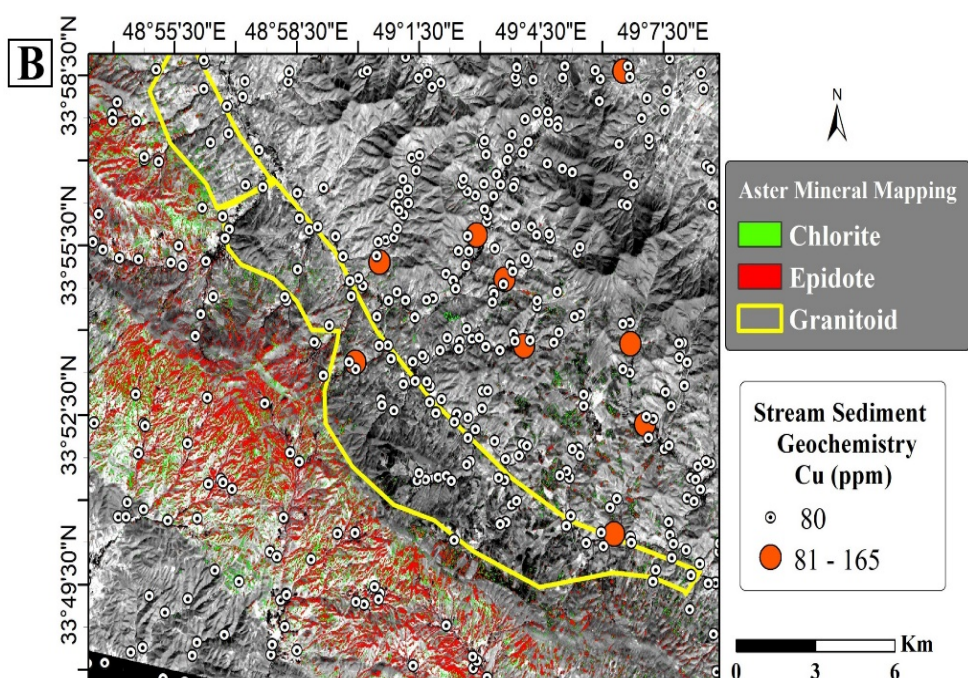


شکل ۸. فراوانی عنصرهای A: قلع و B: مس (بر اساس ppm) در رسوب‌های رودخانه‌ای در تصویر ماهواره‌ای ASTER منطقه همدان
Fig. 8. Frequency of A: tin, and B: copper elements (in ppm) in river sediments in ASTER image of Hamedan region

Boroujerd-Malayer Granitoid

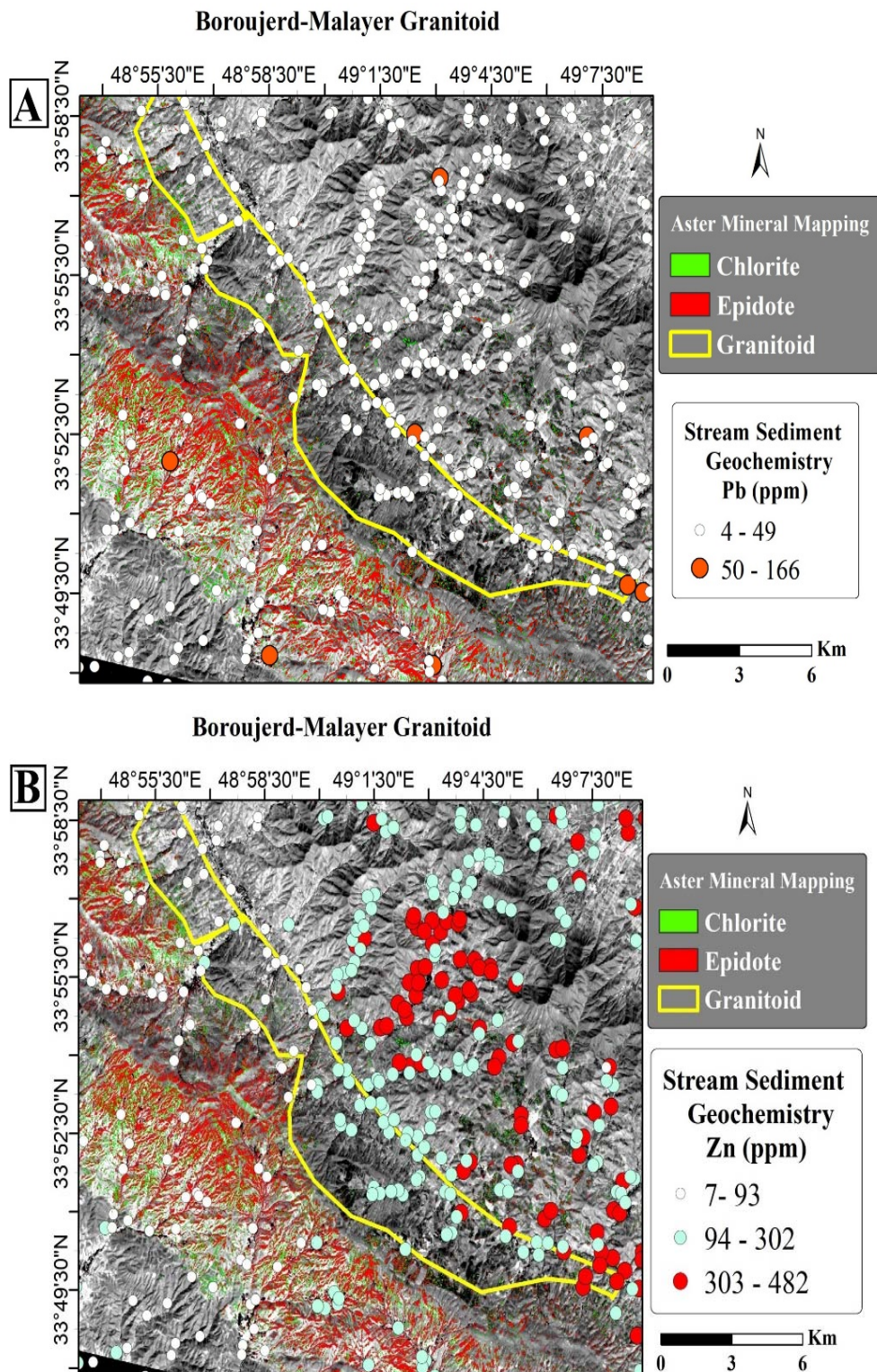


Boroujerd-Malayer Granitoid

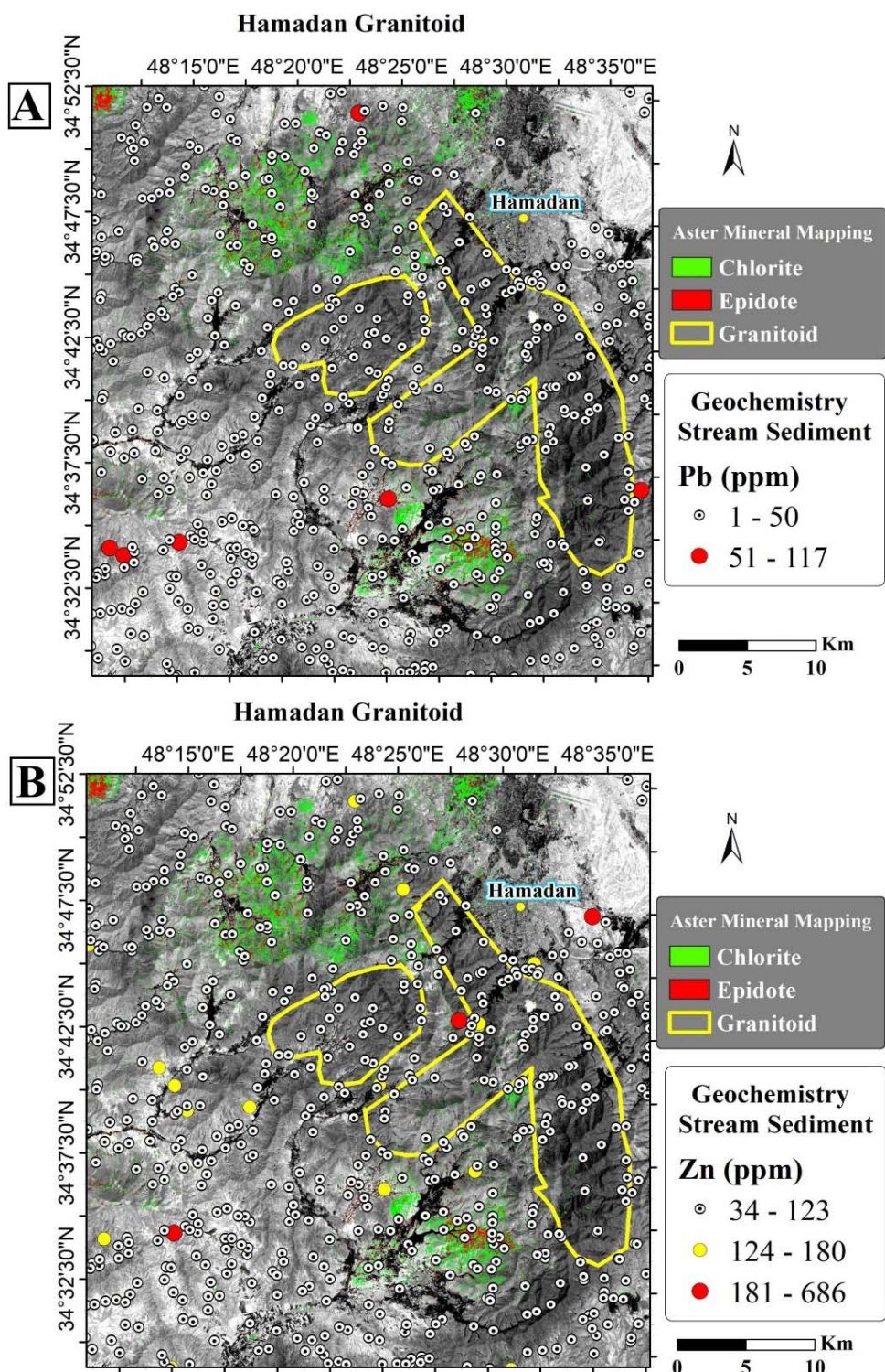


شکل ۹. فراوانی عنصرهای A: قلع و B: مس (بر اساس ppm) در رسوب‌های رودخانه‌ای در تصویر ماهواره‌ای ASTER منطقه بروجرد-ملایر

Fig. 9. Frequency of A: tin, and B: copper elements (in ppm) in river sediments in ASTER image of Boroujerd-Malayer region



شکل ۱۰. فراوانی عنصرهای A: سرب و B: روی (بر اساس ppm) در رسوب‌های رودخانه‌ای در تصویر ماهواره‌ای ASTER منطقه همدان
Fig. 10. Frequency of A: lead, and B: zinc elements (in ppm) in river sediments in ASTER image of Hamedan region



شکل ۱۱. فراوانی عنصرهای A: سرب و B: روی (برپایه ppm) در رسوب‌های رودخانه‌ای در تصویر ماهواره‌ای ASTER منطقه بروجرد-ملایر

Fig. 11. Frequency of A: lead, and B: zinc elements (in ppm) in river sediments in ASTER image of Boroujerd-Malayer region

گرانیتوئیدهای مورد بررسی پهنه SaSZ نشان می‌دهند (شکل A-۱۲). ناهنجاری Eu به فوگسیته اکسیژن بستگی دارد (Drake, 1975). بنابراین، ناهنجاری منفی قوی Eu در گرانیتوئیدهای قلع دار نشان می‌دهد مگمای سازنده آنها در شرایط به شدت احیایی پدید آمده است.

با توجه به ویژگی‌های زمین‌شیمیایی کانی‌سازی قلع مرتبه با گرانیتوئیدهای نسبت‌های عنصری و نمودارهای گوناگون بررسی شدن و نمودارهای تمايز جدیدی پیشنهاد شدند که به خوبی گرانیتوئیدهای نابارور و کانه‌زا را از یکدیگر متمایز می‌کنند. این نمودارها عبارتند از: الگوی عنصرهای خاکی کمیاب (شکل A-۱۲)، نمودارهای دوتایی $(\text{Eu}/\text{Eu})_{\text{N}}$ در برابر Rb/Sr (شکل B-۱۲) در برابر Y (شکل A-۱۳) و نمودار سه‌تایی Ba – Rb/Sr – $(\text{Eu}/\text{Eu})_{\text{N}}$ (شکل B-۱۳).

نمودار $(\text{Eu}/\text{Eu})_{\text{N}}$ در برابر Rb/Sr به خوبی گرانیتوئیدهای قلع دار و بدون کانی‌سازی در پهنه SaSZ را از یکدیگر جدا کرده است (شکل B-۱۲). بر اساس این نمودار، مقدار $(\text{Eu}/\text{Eu})_{\text{N}}$ مؤلفه‌ای مهم در اکتشاف نهشته‌های پورفیری قلع است، به گونه‌ای که مقدار $(\text{Eu}/\text{Eu})_{\text{N}}$ در گرانیتوئیدهای قلع دار برابر با 0.010 ± 0.001 است؛ اما این مقدار در گرانیت‌های بدون کانی‌سازی (مانند گرانیتوئیدهای پهنه SaSZ) برابر با 0.008 ± 0.001 است (شکل B-۸). افزون‌بهر این، نسبت Rb/Sr در گرانیتوئیدهای قلع دار بالاتر از ۱۷ و در گرانیتوئیدهای ژوراسیک بدون کانی‌سازی در پهنه SaSZ کمتر از ۳ است (شکل B-۱۲). نمودار Ba در برابر Y یکی دیگر از نمودارهای پیشنهادی است که می‌تواند گرانیتوئیدهای قلع دار را از گرانیتوئیدهای نابارور و بدون کانی‌سازی جدا کند. در این نمودار، مقدار Y در گرانیتوئیدهای قلع دار برابر با 230 ± 30 ppm است؛ اما در گرانیتوئیدهای نابارور و بدون کانی‌سازی پهنه SaSZ این مقدار برابر با 10 ± 1 ppm است (شکل A-۹). همچنین، مقدار Ba در گرانیتوئیدهای قلع دار کمتر از 200 ± 20 ppm است؛ اما در گرانیتوئیدهای نابارور و بدون کانی‌سازی پهنه SaSZ این مقدار برابر با 200 ± 20 ppm است (شکل A-۹).

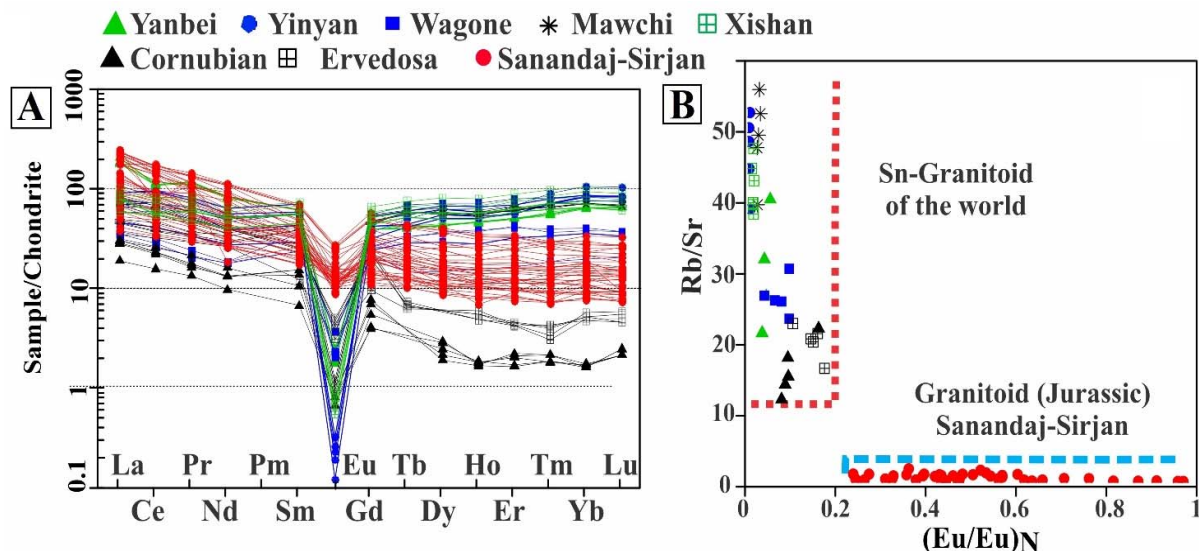
ج) بررسی احتمال کانی‌سازی قلع بر اساس داده‌های زمین‌شیمیایی

فراوانی برخی عناصر (مانند Ba، نسبت (Rb/Sr)) به عنوان راهنمای برده می‌شود (Karimpour and Bowes, 1983; Neiva, 1984). در این پژوهش، داده‌های زمین‌شیمیایی به دست آمده ($(\text{Eu}/\text{Eu})_{\text{N}}$ ، $(^{87}\text{Sr}/^{86}\text{Sr})$ ، Ba، Y، Sr، Rb، ENd_i و Ba) برای ۶۴ نمونه از نهشته‌ها و کانسارهای قلع پورفیری جهان، شامل نمونه‌هایی از رسوبات قلع پورفیری Yanbei (جنوب چین)، Xishan (چین) و Mawchi (انگلستان) (Ervedosa، میانمار، تایلند)، Cornubian (پرتغال) گردآوری، بررسی و ارزیابی شدند (جدول ۲). سپس داده‌های یادشده با داده‌های مشابه به دست آمده برای گرانیت‌های نوع S بخش مرکزی تا جنوبی پهنه SaSZ (همدان تا سیرجان) مقایسه شدند تا احتمال و توان کانی‌سازی قلع در این پهنه ارزیابی شود.

مقدار $(^{87}\text{Sr}/^{86}\text{Sr})$ در گرانیتوئیدهای نوع S ژوراسیک پهنه SaSZ برابر با 0.708 ± 0.010 است؛ اما میزان این نسبت در گرانیتوئیدهایی که در جهان خاستگاه نهشته‌های قلع پورفیری هستند، بیشتر و برابر با 0.719 ± 0.011 است (جدول ۲)، در حالی که خاستگاه هر دو گروه پوسته قاره‌ای است. در حقیقت، مقدار خاستگاه گرانیتوئیدهای نوع S، ژوراسیک پهنه SaSZ کمتر رادیوزنیک بوده است.

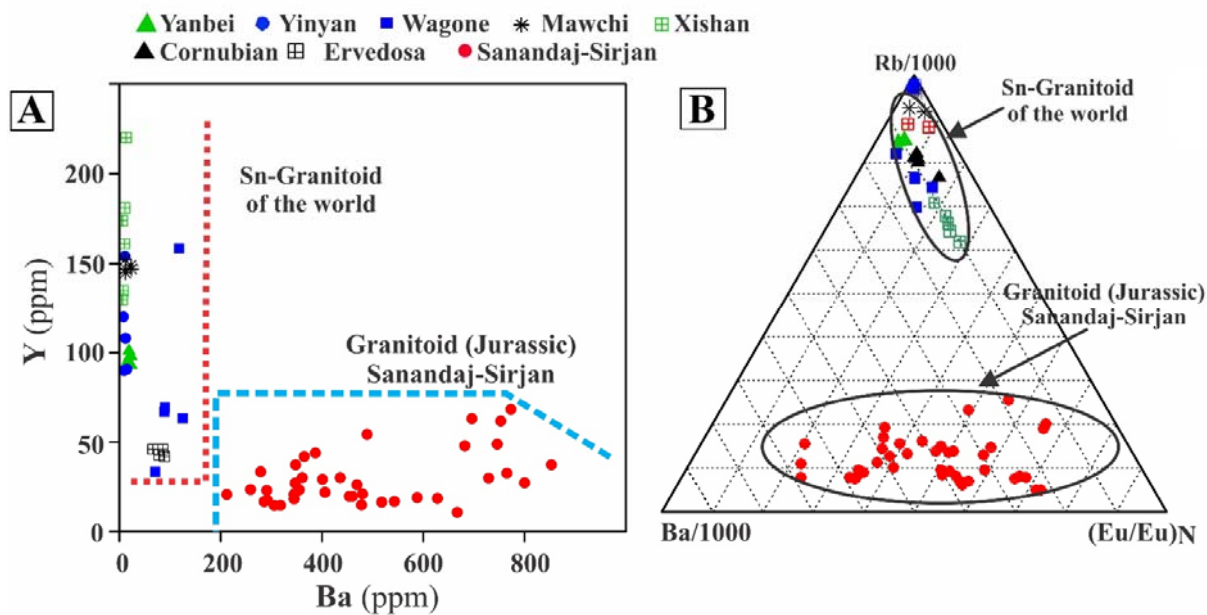
از سوی دیگر، نهشته‌های قلع مربوط به گرانیت‌های قلع دار (با ۱۸ تا 26 ppm قلع؛ Lehmann, 1990) غنی‌شدگی ۲ تا 20 ± 2 برابری از قلع نسبت به گرانیت‌های معمولی نشان می‌دهند؛ زیرا گرانیت‌های قلع دار پیامد جدایش ماقمایی مذاب‌های خاستگاه با 2 ± 3 برابر قلع بیشتر نسبت به فراوانی میانگین پوسته‌ای و گرانیت‌های معمولی هستند (Lehmann, 1987; Heinrich, 1990; Solomon et al., 1994).

در الگوی بهنجارشده عنصرهای خاکی کمیاب، گرانیتوئیدهای قلع دار سراسر جهان ناهنجاری منفی Eu آشکارتری را نسبت به



شکل ۱۲. گرانیتوئیدهای ژوراسیک (۱۷۸-۱۶۰ میلیون سال پیش) پهنه SaSZ در A: نمودار عنصرهای خاکی کمیاب بهنجارشده به کندریت و B: نمودار Rb/Sr در برابر $(Eu/Eu)_N$ (داده‌های نهشته‌های پورفیری قلع در جدول ۲ آمده است)

Fig. 12. Jurassic (178-160 Ma) granitoids of SaSZ in A: chondrite-normalized REE diagram, and B: $(Eu/Eu)_N$ versus Rb/Sr plot (data of porphyry Sn deposits are given in Table 2)



شکل ۱۳. گرانیتوئیدهای ژوراسیک (۱۷۸-۱۶۰ میلیون سال پیش) پهنه SaSZ در A: نمودار Ba در برابر Y (بر اساس ppm); B: نمودار سه‌تایی $Ba - Rb - (Eu/Eu)_N$ (داده‌های نهشته‌های پورفیری قلع در جدول ۲ آورده شده‌اند)

Fig. 13. Jurassic (178-160 Ma) granitoids of SaSZ in A: Ba versus Y (in ppm) plot, and B: Rb-Ba-(Eu/Eu)_N ternary plot (data of porphyry Sn deposits are given in Table 2)

نیامده است. سبتهای ایزوتوپی Rb-Sr و Sm-Nd توسط Tarkian et al., 1983; Esmaeily et al., 2005; Moradi Noghondar et al., 2011 نیز نشان می‌دهند خاستگاه مانگمای سازنده این سنگ‌ها، پوسه قاره‌ای بوده است. این تودهای سری ایلمینیت نیز که همانند تودهای گرانیتوئیدی بررسی شده در پهنه SaSZ در پهنه برخورد قاره‌ای شکل گرفته‌اند، فاقد کانی سازی قلم هستند.

نتیجہ گیری

- بر اساس مستندات مهم زمین شناسی، زمین شیمیایی و زمین فیزیکی، گرانیتوئیدهای همدان، الیگودرز، ملایر، بروجرد و کلاه قاضی که هم‌زمان با کوه‌زایی سیمیرین (۱۷۸-۱۶۰ میلیون سال پیش) تشکیل شده‌اند، از نوع S و متعلق به سری ایلمینیت هستند. به علت استفاده از ترکیب برخی عنصرهای اصلی و نمودارهای قدیمی (مانند سدیم و پتاسیم در نمودار پیشنهادی چاپل و وايت (Chappell and White, 2001)، موجب شده است، در برخی پژوهش‌های پیشین، این گرانیتوئیدها به اشتباه از نوع I معرفی شوند؛ در حالی که شواهد زیر نشان می‌دهند این گرانیت‌ها از نوع S (سری ایلمینیت) و احیایی هستند:
 - این گرانیتوئیدها هم‌زاد با کوه‌زایی سیمیرین هستند و همراه با مجموعه سنگ‌های دگرگونی ناحیه‌ای (اسلیت و شیست) دیده می‌شوند؛
 - عدم تشکیل سنگ‌های آتشفشاری در این مقطع زمانی موضوع کمرنگ ولکانیک-پلوتونیک مرتبط با پنهان فروزانش را رد می‌کند؛
 - همه این گرانیتوئیدها دارای ابعاد بزرگ (باتولیت) هستند و در اعماق بیش از ۴ کیلومتر متبلور شده‌اند؛ در حالی که اگر این گرانیتوئیدها به نوع I متعلق می‌بودند، در ابعاد کوچک (استوک) و اعماق کم زمین متبلور می‌شدند و در آن مقطع زمانی، سنگ‌های آتشفشاری نیز تشکیل می‌شدند؛
 - بر اساس عدد پذیرفتاری مغناطیسی ($> 10^{-5} \text{ SI}$) و پایین بودن میزان شدت کل میدان مغناطیس هوایی، همه این مجموعه گرانیتوئید متعلق به سری ایلمینیت (نوع احیایی) هستند؛

نمودار سه تایی $Ba - Rb - Eu$ (شکل ۹) نیز تمايز خوبی میان گرانیتوئیدهای قلع دار و گرانیتوئیدهای نابارور و بدون کانی سازی پهنه SaSZ نشان می دهد. از این رو، می توان گفت میزان بالای Rb ، مقدار بسیار اندک Ba و $(Eu/Eu)_N$ بسیار کم و منفی از ویژگی های زمین شیمیایی گرانیتوئیدهای قلع دار به شمار می روند و در مقابل، میزان کم Rb/Sr (< 3)، مقدار Y برابر با 10 تا 75 ppm، مقدار بالای Ba (بیشتر از 200 ppm) و $(Eu/Eu)_N$ برابر با 0.8 تا 0.3 از ویژگی های زمین شیمیایی گرانیتوئیدهای نابارور و بی کانی سازی قلع به شمار می روند.

به این ترتیب می‌توان گفت، سیستم ماگماهی ژوراسیک در پهنه استعداد کانی‌سازی قلع را داشته است؛ اما به جز در چندین نقطه از منطقه همدان که شواهد محدودی از کانی‌سازی قلع به صورت ناچیز و پراکنده دیده شده است (م. معانی‌جو، ۱۳۹۹)، در دیگر بخش‌ها به علت خاستگاه و گفته شفاهی، در دیگر بخش‌ها به علت خاستگاه و شرایط زمین‌شیمیایی ماگما این کانی‌سازی روی نداده است.

همانند گرانیتوئیدهای پهنه SaSZ، در بخش خاوری ایران (بلوک لوت) نیز رخنمونهایی از توده‌های گرانیتوئیدی نوع S از سری ایلمنیت در مناطق نجم‌آباد ۱۶۱/۸۵ میلیون سال پیش؛ Moradi (۰/۷۰۹۱ = $(^{87}\text{Sr}/^{86}\text{Sr})_i$ = ϵ_{Nd_i} = $-6/51$)، سرخ کوه ۱۶۵ میلیون سال (Noghondar et al., 2011)، سرخ کوه (Tarkian et al., 1983) ۰/۷۰۷ = $(^{87}\text{Sr}/^{86}\text{Sr})_i$ تا پیش؛ شاه کوه ۱۶۵ میلیون سال پیش؛ $\epsilon_{\text{Nd}_i} = -2/5$ = $(^{87}\text{Sr}/^{86}\text{Sr})_i$ (Esmaeily et al., 2005) دیده می‌شوند (شکل‌های ۱ و ۶). ویژگی‌های زمین‌شناسی، زمین‌فیزیکی و زمین‌شیمیایی این توده‌ها بسیار همانند گرانیتوئیدهای ۱۷۸ تا ۱۶۰ میلیون سال پیش در SaSZ است. برای نمونه، این باتولیت‌ها نیز در پی کوهزایی سیمیرین در اسلیت‌های پیش از ژوراسیک (هاند کمپلکس دگرگونی دهسلم (Esmaeily et al., 2005) نفوذ کرده‌اند. همچنین، پذیر فتاری مغناطیسی آنها همانند گرانیت‌های سری ایلمنیت کمتر از $10^{-5} \times 100$ است و هیچ سنگ آتش‌شانی مرتبط با کمان ماگماهی در این بازه زمانی در این منطقه پدید

¹. دانشیار، گروه زمین‌شناسی، دانشکده علوم، دانشگاه بوعلی سینا، همدان، ایران

شناسایی نشدند؛^۲ میزان فراوانی عنصرهای مس، قلع، سرب و روی در این گرانیتوئیدها و رسوبات رودخانه‌ای مرتبط با آنها در حد عادی است و هیچ گونه آنومالی نشان نمی‌دهد؛^۳ مقدار Eu/Eu_N (بیشتر از 0.02) کمتر از 0.03 ppm (Eu/Eu) و Ba بیشتر از 200 ppm در این گرانیتوئیدها را از گرانیتوئیدهای قلع دار بارور جدا می‌کند؛^۴ این گرانیتوئیدها با گرانیتوئیدهای نوع S (سری ایلمنیت) در بلوک لوت (مناطق نجم آباد، سرخ کوه تا شاه کوه) که در پهنه برخورد قاره‌ای و در طی کوه‌زایی سیمیرین پدید آمده‌اند، شباهت‌های زمین‌شناسی، زمین‌شیمیایی و زمین‌فیزیکی بسیار بالایی دارند و همانند آنها از نظر کانی‌سازی قلع نابارور هستند. مقایسه Eu/Eu_N با Sa/SZ با گرانیتوئیدهای دارای قلع پورفیری جهانی به ارائه چند نمودار مناسب منجر شد (نمودار Eu/Eu_N در برابر Rb/Sr ، نمودار Ba در برابر Y ، نمودار سه‌تایی $\text{Ba}-\text{Rb}-\text{Eu}/\text{Eu}_N$) که نقش کلیدی در اکتشاف دارند.

- کاهیدگی نسبت Eu/Eu نشانه مهمی از رخداد ذوب در شرایط احیایی است و این شرایط بیشتر به ذوب در پوسته قاره‌ای مربوط است؛

- $(\text{Ba}/\text{Sr})^{87\text{Sr}/86\text{Sr}}$ بیشتر از 0.707 در گرانیتوئیدهای این پهنه، مدرک مهمی مبنی بر خاستگاه این گرانیتوئیدها از پوسته قاره‌ای است.

با توجه به اینکه این گرانیتوئیدها از نوع S هستند، بنابراین توان کانی‌سازی قلع پورفیری دارند. نسبت دادن این مجموعه گرانیتوئیدها به نوع I موجب شده است که برخی افراد در پی بررسی امکان کانی‌سازی مس پورفیری باشند؛ اما چند ویژگی بسیار مهم نشان می‌دهند این گرانیتوئیدها شرایط لازم برای اپیدوت، سریسیت و کانولن) بر اساس پردازش داده‌های ماهواره UST و نبود کوارتز با بافت ویژه رشد یک جهتی یا ASTER که بیانگر وجود محلول‌های گرمابی و در نتیجه توان کانی‌سازی در این توده‌های گرانیتوئیدی هستند در این گرانیتوئیدها

References

- Agard, P., Omrani, J., Jolivet, L. and Mouthereau, F., 2005. Convergence history across Zagros (Iran): constraints from collisional and earlier deformation. International Journal of Earth Sciences, 94: 401–419. <https://doi.org/10.1007/s00531-005-0481-4>
- Agard, P., Omrani, J., Jolivet, L., Whitechurch, H., Vrielynck, B., Spakman, W., Monié, P., Meyer, B. and Wortel, R., 2011. Zagros orogeny: a subduction-dominated process. Geological Magazine, 148(5-6): 692–725. <https://doi.org/10.1017/S001675681100046X>
- Ahadnejad, V., Valizadeh, M., Deevsalar, R. and Rezaei-kakhkhaei, M., 2011. Age and geotectonic position of the Malayer granitoids: Implication for plutonism in the Sanandaj-Sirjan Zone, W Iran. Neues Jahrbuch für Geologie und Paläontologie - Abhandlungen, 261(1): 61–75. <https://doi.org/10.1127/0077-7749/2011/0149>
- Ajirlu, M.S., Moazzen, M. and Hajialioghli, R., 2016. Tectonic evolution of the Zagros Orogen in the realm of the Neotethys between the Central Iran and Arabian Plates: An ophiolite perspective. Central European Geology, 59(1–4): 1–27. <https://doi.org/10.1556/24.59.2016.001>
- Alavi, M., 1994. Tectonics of the Zagros orogenic belt of Iran: new data and interpretations. Tectonophysics, 229(3–4): 211–238. [https://doi.org/10.1016/0040-1951\(94\)90030-2](https://doi.org/10.1016/0040-1951(94)90030-2)
- Azizi, H., Nouri, F., Stern, R.J., Azizi, M., Lucci, F., Asahara, Y., Zarinkoub, M.H. and Chung, S.L., 2020. New evidence for Jurassic continental rifting in the northern Sanandaj

- Sirjan Zone, western Iran: the Ghalaylan seamount, southwest Ghorveh. *International Geology Review*, 62(13–14): 1635–1657. <https://doi.org/10.1080/00206814.2018.1535913>
- Bayati, M., Esmaeily, D., Maghdour-mashhour, R., Li, X. and Stern, R.J., 2017. Geochemistry and petrogenesis of Kolah-Ghazi granitoids of Iran: Insights into the Jurassic Sanandaj-Sirjan magmatic arc. *Chemie der Erde-Geochemistry*, 77(2): 281–302. <https://doi.org/10.1016/j.chemer.2017.02.003>
- Berberian, M. and King, G.C.P., 1981. Towards a paleogeography and tectonic evolution of Iran. *Canadian Journal of Earth Sciences*, 18(2): 210–265. <https://doi.org/10.1139/e81-019>
- Boynton, W., 1984. Cosmochemistry of rare earth elements: meteorite studies. In: P. Henderson (Editor), *Rare Earth Element Geochemistry*. Elsevier, Amsterdam, pp. 63–114. <https://doi.org/10.1016/B978-0-444-42148-7.50008-3>
- Chappell, B.W. and White, A.J.R., 2001. Two contrasting granite types: 25 years later. *Australian Journal of Earth Sciences*, 48(4): 489–499. <https://doi.org/10.1046/j.1440-0952.2001.00882.x>
- Chappell, B.W., White, A.J.R., Williams, I.S. and Wyborn, D., 2004. Low- and high-temperature granites. *Earth and Environmental Science Transactions of the Royal Society of Edinburgh*, 95(1–2): 125–140. <https://doi.org/10.1017/s0263593300000973>
- Chiu, H.Y., Chung, S.L., Zarrinkoub, M.H., Mohammadi, S.S., Khatib, M.M. and Iizuka, Y., 2013. Zircon U-Pb age constraints from Iran on the magmatic evolution related to Neotethyan subduction and Zagros orogeny. *Lithos*, 162–163: 70–87. <https://doi.org/10.1016/j.lithos.2013.01.006>
- Clemens, J.D. and Stevens, G., 2012. What controls chemical variation in granitic magmas? *Lithos*, 134–135: 317–329. <https://doi.org/10.1016/j.lithos.2012.01.001>
- Clemens, J.D., Stevens, G. and Farina, F., 2011. The enigmatic sources of I-type granites: The peritectic connexion. *Lithos*, 126(3–4): 174–181. <https://doi.org/10.1016/j.lithos.2011.07.004>
- Daneshvar, N., Maanijou, M., Azizi, H. and Asahara, Y., 2019. Petrogenesis and geodynamic implications of an Ediacaran (550 Ma) granite complex (metagranites), southwestern Saqqez, northwest Iran. *Journal of Geodynamics*, 132: 101669. <https://doi.org/10.1016/j.jog.2019.101669>
- Darbyshire, D.P.F. and Shepherd, T.J., 1994. Nd and Sr isotope constraints on the origin of the Cornubian batholith, SW England. *Journal of Geological Society*, 151(5): 795–802. <https://doi.org/10.1144/gsjgs.151.5.0795>
- Drake, M.J., 1975. The oxidation state of europium as an indicator of oxygen fugacity. *Geochimica et Cosmochimica Acta*, 39(1): 55–64. [https://doi.org/10.1016/0016-7037\(75\)90184-2](https://doi.org/10.1016/0016-7037(75)90184-2)
- Ellwood, B.B. and Wenner, D.B., 1981. Correlation of magnetic susceptibility with $^{18}\text{O}/^{16}\text{O}$ data in late orogenic granites of the southern Appalachian Piedmont. *Earth and Planetary Science Letters*, 54(2): 200–202. [https://doi.org/10.1016/0012-821X\(81\)90003-0](https://doi.org/10.1016/0012-821X(81)90003-0)
- Esmaeily, D., Nedelec, A., Valizadeh, M., Moore, F. and Cotton, J., 2005. Petrology of the Jurassic Shah-Kuh granite (eastern Iran), with reference to tin mineralization. *Journal of Asian Earth Sciences*, 25(6): 961–980. <https://doi.org/10.1016/j.jseas.2004.09.003>
- Esna-Ashari, A., Tiepolo, M., Valizadeh, M., Hassanzadeh, J. and Sepahi, A., 2012. Geochemistry and zircon U-Pb geochronology of Aligoodarz granitoid complex, Sanandaj-Sirjan Zone, Iran. *Journal of Asian Earth Sciences*, 43(1): 11–22. <https://doi.org/10.1016/j.jseas.2011.09.001>
- Fergusson, C.L., Nutman, A.P., Mohajjal, M. and Bennett, V.C., 2016. The Sanandaj – Sirjan Zone in the Neo-Tethyan suture, western Iran: Zircon U – Pb evidence of late Palaeozoic rifting of northern Gondwana and mid-Jurassic oogenesis. *Gondwana Research*, 40: 43–57. <https://doi.org/10.1016/j.gr.2016.08.006>
- Ghasemi, A. and Talbot, C.J., 2006. A new tectonic scenario for the Sanandaj-Sirjan Zone (Iran). *Journal of Asian Earth Sciences*, 26(6): 683–693. <https://doi.org/10.1016/j.jseas.2005.01.003>
- Gill, R., 2010. Igneous Rocks and Processes: A Practical Guide. Wiley-Blackwell, Chichester, 438 pp. Retrieved January 01, 2021 from <https://b-ok.asia/book/3095543/af00d1>
- Golestan, M., Karimpour, M.H., Malekzadeh

- Shafaroudi, A. and Hidarian Shahri, M.R., 2018. Geochemistry, U-Pb geochronology and Sr-Nd isotopes of the Neogene igneous rocks, at the Iju porphyry copper deposit, NW Shahr-e-Babak, Iran. *Ore Geology Reviews*, 93: 290–307.
<https://doi.org/10.1016/j.oregeorev.2018.01.001>
- Gomes, M.E.P. and Neiva, A.M.R., 2000. Chemical zoning of muscovite from the Ervedosa granite, northern Portugal. *Mineralogical Magazine*, 64(2): 347–358.
<https://doi.org/10.1180/002646100549247>
- Govett, G.J.S. and Atherden, P.R., 1988. Applications of rock geochemistry to productive plutons and volcanic sequences. *Journal of Geochemical Exploration*, 30(1–3): 223–242.
[https://doi.org/10.1016/0375-6742\(88\)90062-3](https://doi.org/10.1016/0375-6742(88)90062-3)
- Grebennikov, A.V., 2014. A-type granites and related rocks: Petrogenesis and classification. *Russian Geology and Geophysics*, 55(11): 1353–1366.
<https://doi.org/10.1016/j.rgg.2014.10.011>
- Hassanzadeh, J., Stockli, D.F., Horton, B.K., Axen, G.J., Stockli, L.D., Grove, M., Schmitt, A.K. and Walker, J.D., 2008. U-Pb zircon geochronology of late Neoproterozoic-Early Cambrian granitoids in Iran: Implications for paleogeography, magmatism, and exhumation history of Iranian basement. *Tectonophysics*, 451(1–4): 71–96.
<https://doi.org/10.1016/j.tecto.2007.11.062>
- Healy, B., Collins, W.J., and Richards, S.W., 2004. A hybrid origin for Lachlan S-type granites: the Murrumbidgee Batholith example. *Lithos*, 78(1–2): 197–216.
<https://doi.org/10.1016/j.lithos.2004.04.047>
- Heinrich, C.A., 1990. The chemistry of hydrothermal tin (-tungsten) ore deposition. *Economic Geology*, 85(3): 457–481.
<https://doi.org/10.2113/gsecongeo.85.3.457>
- Hemmati, O., Tabatabaei Manesh, S.M. and Nadimi, A.R., 2018. Deformation Mechanisms of Darreh Sary Metapelites, Sanandaj-Sirjan Zone, Iran. *Geotectonics*, 52: 281–296.
<https://doi.org/10.1134/S0016852118020024>
- Hu, P.C., Zhu, W.G., Zhong, H., Zhang, R.Q., Zhao, X.Y. and Mao, W., 2020. Late Cretaceous granitic magmatism and Sn mineralization in the giant Yinyan porphyry tin deposit, South China: constraints from zircon and cassiterite U-Pb and molybdenite Re-Os geochronology. *Mineralium Deposita*, 56: 743–765.
<https://doi.org/10.1007/s00126-020-00997-3>
- Ishihara, S., 1977. The Magnetite-series and Ilmenite-series Granitic Rocks. *Mining Geology*, 27(145): 293–305.
<https://doi.org/10.11456/shigenchishitsu1951.27.293>
- Jamshidibadr, M., Collins, A.S., Masoudi, F., Cox, G. and Mohajjal, M., 2013. The U-Pb age, geochemistry and tectonic significance of granitoids in the Soursat Complex, Northwest Iran. *Turkish Journal of Earth Sciences*, 22(1): 1–31.
<https://doi.org/10.3906/yer-1001-37>
- Jiménez-Munt, I., Fernández, M., Saura, E., Vergés, J. and García-Castellanos, D., 2012. 3-D lithospheric structure and regional/residual Bouguer anomalies in the Arabia-Eurasia collision (Iran). *Geophysical Journal International*, 190(3): 1311–1324.
<https://doi.org/10.1111/j.1365-246X.2012.05580.x>
- Karimpour, M.H. and Bowes, W.W., 1983. Application of Trace Elements and Isotopes for Discriminating between Porphyry Molybdenum, Copper, and Tin Systems and the Implications for Predicting the Grade. *Global Tectonics and Metallogeny*, 2(1–2): 29–36.
<https://doi.org/10.1127/gtm/2/1983/29>
- Kazemi, K., Kananian, A., Xiao, Y. and Sarjoughian, F., 2019. Petrogenesis of Middle-Eocene granitoids and their Mafic microgranular enclaves in central Urmia-Dokhtar Magmatic Arc (Iran): Evidence for interaction between felsic and mafic magmas. *Geoscience Frontiers*, 10(2): 705–723.
<https://doi.org/10.1016/j.gsf.2018.04.006>
- Khalaji, A.A., Esmaeily, D. and Valizadeh, M.V., 2007. Petrology and geochemistry of the granitoid complex of Boroujerd, Sanandaj-Sirjan Zone, Western Iran. *Journal of Asian Earth Sciences*, 29(5–6): 859–877.
<https://doi.org/10.1016/j.jseaes.2006.06.005>
- Le Garzic, E., Vergés, J., Sapin, F., Saura, E., Meresse, F. and Ringenbach, J.C., 2019. Evolution of the NW Zagros Fold-and-Thrust Belt in Kurdistan Region of Iraq from balanced and restored crustal-scale sections and forward modeling. *Journal of Structural Geology*, 124:

- 51–69.
<https://doi.org/10.1016/j.jsg.2019.04.006>
- Lehmann, B., 1982. Metallogeny of tin; magmatic differentiation versus geochemical heritage. *Economic Geology*, 77(1): 50–59. <https://doi.org/10.2113/gsecongeo.77.1.50>
- Lehmann, B., 1987. Tin granites, geochemical heritage, magmatic differentiation. *Geologische Rundschau*, 76: 177–185. <https://doi.org/10.1007/BF01820581>
- Lehmann, B., 1990. Metallogeny of Tin. Springer, Berlin, Heidelberg, 212 pp. <https://doi.org/10.1007/BFb0010922>
- Li, H., Palinkaš, L.A., Watanabe, K. and Xi, X.S., 2018. Petrogenesis of Jurassic A-type granites associated with Cu-Mo and W-Sn deposits in the central Nanling region, South China: Relation to mantle upwelling and intra-continental extension. *Ore Geology Reviews*, 92: 449–462. <https://doi.org/10.1016/j.oregeorev.2017.11.029>
- Liu, C.S., Ling, H.F., Xiong, X.L., Shen, W.Z., Wang, D.Z., Huang, X.L. and Wang, R.C., 1999. An F-rich, Sn-bearing Volcanic-intrusive complex in Yanbei, South China. *Economic Geology*, 94(3): 325–341. <https://doi.org/10.2113/gsecongeo.94.3.325>
- Mahmoudi, S., Corfu, F., Masoudi, F., Mehrabi, B. and Mohajjel, M., 2011. U-Pb dating and emplacement history of granitoid plutons in the northern Sanandaj-Sirjan Zone, Iran. *Journal of Asian Earth Sciences*, 41(3): 238–249. <https://doi.org/10.1016/j.jseaes.2011.03.006>
- McCulloch, M.T. and Chappell, B.W., 1982. Nd isotopic characteristics of S- and I-type granites. *Earth and Planetary Science Letters*, 58: 51–64. [https://doi.org/10.1016/0012-821X\(82\)90102-9](https://doi.org/10.1016/0012-821X(82)90102-9)
- Mehdipour Ghazi, J. and Moazzen, M., 2015. Geodynamic evolution of the Sanandaj-Sirjan Zone, Zagros Orogen, Iran. *Turkish Journal of Earth Sciences*, 24(5): 513–528. <https://doi.org/10.3906/yer-1404-12>
- Middlemost, E.A.K., 1994. Naming materials in the magma/igneous rock system. *Earth-Science Reviews*, 37(3-4): 215–224. [https://doi.org/10.1016/0012-8252\(94\)90029-9](https://doi.org/10.1016/0012-8252(94)90029-9)
- Mohajjel, M. and Fergusson, C.L., 2014. Jurassic to Cenozoic tectonics of the Zagros Orogen in northwestern Iran. *International Geology Review*, 56(3): 263–287. <https://doi.org/10.1080/00206814.2013.853919>
- Mohajjel, M., Fergusson, C.L. and Sahandi, M.R., 2003. Cretaceous – Tertiary convergence and continental collision, Sanandaj – Sirjan Zone, western Iran. *Journal of Asian Earth Sciences*, 21(4): 397–412. [https://doi.org/10.1016/S1367-9120\(02\)00035-4](https://doi.org/10.1016/S1367-9120(02)00035-4)
- Monfaredi, B., Hauenberger, C., Neubauer, F., Schulz, B., Genser, J., Shakerardakani, F. and Halama, R., 2020. Deciphering the Jurassic–Cretaceous evolution of the Hamadan metamorphic complex during Neotethys subduction, western Iran. *International Journal of Earth Sciences*, 109: 2135–2168. <https://doi.org/10.1007/s00531-020-01893-x>
- Moradi Noghondar, M., Karimpour, M., Farmer, G. and Stern, C., 2011. Sr-Nd isotopic characteristic, U-Pb zircon geochronology, and petrogenesis of Najmabad Granodiorite batholith, Eastern Iran. *Journal of Economic Geology*, 3(5): 27–145. <https://doi.org/10.22067/econg.v3i2.11436>
- Myint, A.Z., Zaw, K., Swe, Y.M., Yonezu, K., Cai, Y., Manaka, T. and Watanabe, K., 2017. Geochemistry and geochronology of granites hosting the Mawchi Sn-W deposit, Myanmar: implications for tectonic setting and emplacement. *Geological Society, London, Memoirs*, 48: 385–400. <https://doi.org/10.1144/M48.17>
- Neiva, A.M.R., 1984. Geochemistry of tin-bearing granitic rocks. *Chemical Geology*, 43(3-4): 241–256. [https://doi.org/10.1016/0009-2541\(84\)90052-4](https://doi.org/10.1016/0009-2541(84)90052-4)
- Neiva, A.M.R., 2002. Portuguese granites associated with Sn-W and Au mineralizations. *Bulletin of the Geological Society of Finland*, 74: 79–101. <https://doi.org/10.17741/bgsf/74.1-2.003>
- Pearce, J., 1983. Role of the sub-continental lithosphere in magma genesis at active continental margins. In: C.J. Hawkesworth and M.J. Norry (Editors), *Continental basalts and mantle xenoliths*. Shiva, Nantwich, pp. 230–249. Retrieved January 01, 2021 from <http://orca.cf.ac.uk/id/eprint/8626>
- Pearce, J.A., Harris, N.B.W. and Tindle, A.G., 1984. Trace Element Discrimination Diagrams for the Tectonic Interpretation of Granitic Rocks. *Journal of Petrology*, 25(4): 956–983.

- <https://doi.org/10.1093/petrology/25.4.956>
- Pitcher, W., 1983. Granite type and tectonic environment. In: K. Hsu (Editor), *Mountain Building Processes*. Academic Press, London, pp. 19–40. Retrieved January 01, 2021 from <https://www.csus.edu/indiv/c/cornwell/earth/mountains.pdf>
- Raeisi, D., Mirnejad, H. and Sheibi, M., 2019. Emplacement mechanism of the Tafresh granitoids, central part of the Urumieh–Dokhtar Magmatic Arc, Iran: evidence from magnetic fabrics. *Geological Magazine*, 156(9): 1510–1526.
- <https://doi.org/10.1017/S0016756818000766>
- Richards, J.P., 2015. Tectonic, magmatic, and metallogenic evolution of the Tethyan orogen: From subduction to collision. *Ore Geology Reviews*, 70: 323–345. <https://doi.org/10.1016/j.oregeorev.2014.11.009>
- Ricou, L.E., 1994. Tethys reconstructed: plates continental fragments and their boundaries since 260 Ma from Central America to South-eastern Asia. *Geodinamica Acta*, 7(4): 169–218. <https://doi.org/10.1080/09853111.1994.11105266>
- Safarzadeh, E., Masoudi, F., Hassanzadeh, J. and Pourmoafi, S.M., 2016. The presence of Precambrian basement in Gole Gohar of Sirjan (south of Iran). *Iranian Journal of Petrology*, 7(26): 153–170. <https://doi.org/10.22108/ijp.2016.20847>
- Sepahi, A.A., Salami, S., Lentz, D., McFarlane, C. and Maanijou, M., 2018. Petrography, geochemistry, and U–Pb geochronology of pegmatites and aplites associated with the Alvand intrusive complex in the Hamedan region, Sanandaj–Sirjan zone, Zagros orogen (Iran). *International Journal of Earth Sciences*, 107: 1059–1096. <https://doi.org/10.1007/s00531-017-1515-4>
- Shabanian, N., Reza, A., Dong, Y. and Liu, X., 2018. U–Pb zircon dating, geochemistry and Sr–Nd–Pb isotopic ratios from Azna-Dorud Cadomian metagranites, Sanandaj–Sirjan Zone of western Iran. *Precambrian Research*, 306: 41–60. <https://doi.org/10.1016/j.precamres.2017.12.037>
- Shahbazi, H., Siebel, W., Pourmoafee, M., Ghorbani, M., Sepahi, A.A., Shang, C.K. and Abedini, M.V., 2010. Geochemistry and U–Pb zircon geochronology of the Alvand plutonic complex in Sanandaj – Sirjan Zone (Iran): New evidence for Jurassic magmatism. *Journal of Asian Earth Sciences*, 39(6): 668–683. <https://doi.org/10.1016/j.jseaes.2010.04.014>
- Shakerardakani, F., Neubauer, F., Genser, J., Masoudi, F. and Mehrabi, B., 2015. Tectonic history of the central Sanandaj-Sirjan zone, Iran: Potentially Permian to Mesozoic polymetamorphism and implications for tectonics of the Sanandaj-Sirjan zone. *EGU General Assembly Conference Abstracts*, Vienna Austria.
- Sheikholeslami, M.R., 2015. Deformations of Palaeozoic and Mesozoic rocks in southern Sirjan, Sanandaj–Sirjan Zone, Iran. *Journal of Asian Earth Sciences*, 106: 130–149. <https://doi.org/10.1016/j.jseaes.2015.03.007>
- Simons, B., Shail, R.K. and Andersen, J.C.Ø., 2016. The petrogenesis of the Early Permian Variscan granites of the Cornubian Batholith: Lower plate post-collisional peraluminous magmatism in the Rhenohercynian Zone of SW England. *Lithos*, 260: 76–94. <https://doi.org/10.1016/j.lithos.2016.05.010>
- Solomon, M., Groves, D. and Jaques, A., 1994. *The Geology and Origin of Australia's Mineral Deposits*. Oxford University Press, New York, 951 pp.
- Stampfli, G.M. and Borel, G.D., 2002. A plate tectonic model for the Paleozoic and Mesozoic constrained by dynamic plate boundaries and restored synthetic oceanic isochrons. *Earth and Planetary Science Letters*, 196(1–2): 17–33. [https://doi.org/10.1016/S0012-821X\(01\)00588-X](https://doi.org/10.1016/S0012-821X(01)00588-X)
- Tahmasbi, Z., Castro, A., Khalili, M., Khalaji, A.A. and De, J., 2010. Petrologic and geochemical constraints on the origin of Astaneh pluton, Zagros. *Journal of Asian Earth Sciences*, 39(3): 81–96. <https://doi.org/10.1016/j.jseaes.2010.03.001>
- Takahashi, M., Aramaki, S. and Ishihara, S., 1980. Magnetite-Series/Illmenite Series vs. I-type/S-type granitoids, Granitic Magmatism and related mineralization. *Mining Geology, Special Issue*, 8: 13–28.
- Tarkian, M., Lotfi, M. and Bauman, A., 1983.

- Tectonic, magmatism and the formation of mineral deposit in central Lut, East of Iran. Geological Survey of Iran, Tehran, Report 51, 26 pp.
- Teknik, V. and Ghods, A., 2017. Depth of magnetic basement in Iran based on fractal spectral analysis of aeromagnetic data. *Geophysical Journal International*, 209(3): 1878–1891. <https://doi.org/10.1093/gji/ggx132>
- Xu, B., Jiang, S.Y., Luo, L., Zhao, K.D. and Ma, L., 2017. Origin of the granites and related Sn and Pb-Zn polymetallic ore deposits in the Pengshan district, Jiangxi Province, South China: constraints from geochronology, geochemistry, mineral chemistry, and Sr-Nd-Hf-Pb-S isotopes. *Mineralium Deposita*, 52: 337–360. <https://doi.org/10.1007/s00126-016-0659-7>
- Yang, T.N., Chen, J.L., Liang, M.J., Xin, D., Aghazadeh, M., Hou, Z.Q. and Zhang, H.R., 2018. Two plutonic complexes of the Sanandaj-Sirjan magmatic-metamorphic belt record Jurassic to Early Cretaceous subduction of an old Neotethys beneath the Iran microplate. *Gondwana Research*, 62: 246–268. <https://doi.org/10.1016/j.gr.2018.03.016>
- Zaravandi, A., Rezaei, M., Raith, J.G. and Lentz, D.R., 2020. Why are there no Cu-porphyry deposits in Jurassic Sanandaj-Sirjan zone intrusions of Iran? *International Geology Review*, 62(1): 1–15. <https://doi.org/10.1080/00206814.2020.1864792>
- Zaravandi, A., Rezaei, M., Tashi, M., Fereydouni, Z., and Saed, M., 2019. Comparison of geochemistry and porphyry copper mineralization efficiency in granitoids of the Sanandaj-Sirjan and Urumieh-Dokhtar zones; using rare earth elements geochemistry. *Journal of Economic Geology*, 11(1): 1–32. <https://doi.org/10.22067/econg.v11i1.64476>
- Zhang, L., Zhang, R., Hu, Y., Liang, J., Ouyang, Z., He, J., Chen, Y., Guo, J. and Sun, W., 2017. The formation of the Late Cretaceous Xishan Sn-W deposit, South China: Geochronological and geochemical perspectives. *Lithos*, 290–291: 253–268. <https://doi.org/10.1016/j.lithos.2017.08.013>
- Zhang, Z., Xiao, W., Ji, W., Majidifard, M.R., Rezaeian, M., Talebian, M., Xiang, D., Chen, L., Wan, B., Ao, S. and Esmaeili, R., 2018. Geochemistry, zircon U-Pb and Hf isotope for granitoids, NW Sanandaj-Sirjan zone, Iran: Implications for Mesozoic-Cenozoic episodic magmatism during Neo-Tethyan lithospheric subduction. *Gondwana Research*, 62: 227–245. <https://doi.org/10.1016/j.gr.2018.04.002>
- Zheng, W., Mao, J., Zhao, C., Ouyang, H. and Wang, X.-Y., 2016. Re-Os Geochronology of Molybdenite from Yinyan Porphyry Sn Deposit in South China. *Resource Geology*, 66(1): 63–70. <https://doi.org/10.1111/rge.12087>
- Zhengshu, Z., Jinchu, Z. and Keqin, X., 1989. Geology, geochemistry and genesis of Yinyan porphyry tin deposit. *Chinese Journal of Geochemistry*, 8: 374–384. <https://doi.org/10.1007/BF02837841>

COPYRIGHTS

©2021 The author(s). This is an open access article distributed under the terms of the Creative Commons Attribution (CC BY 4.0), which permits unrestricted use, distribution, and reproduction in any medium, as long as the original authors and source are cited. No permission is required from the authors or the publishers.



How to cite this article

Karimpour, M.H., Shirdashtzadeh, N. and Sadeghi, M., 2021. Granitoids of Sanandaj-Sirjan Zone that are concurrent with Cimmerian Orogeny (178-160 Ma) belong to ilmenite series (S-type): investigation of reason for lacking the porphyry tin mineralization. *Journal of Economic Geology*, 13(1): 1–28. (in Persian with English abstract) <https://dx.doi.org/10.22067/econg.v13i1.1011>



Granitoids of Sanandaj-Sirjan Zone that are concurrent with Cimmerian Orogeny (178-160 Ma) belong to ilmenite series (S-type): investigation of reason for lacking the porphyry tin mineralization

Mohammad Hassan Karimpour^{1 & 2*}, Nargess Shirdashtzadeh³ and Martiya Sadeghi⁴

1) Research Center for Ore Deposit of Eastern Iran, Faculty of Science, Ferdowsi University of Mashhad, Mashhad, Iran

2) Department of Geological Sciences, University of Colorado, Boulder, U.S.A.

3) Department of Geology, Faculty of Sciences, University of Isfahan, P.O. Box: 8174673441, Isfahan, Iran

4) Department of Mineral Resources, Economic Geology unit, Geological Survey of Sweden, Box 670, SE-75128, Uppsala, Sweden

Submitted: Mar. 24, 2021

Accepted: May 22, 2021

Keywords: S-type granitoid, Sn deposit, Cimmerian Orogeny, Sanandaj-Sirjan Zone

Introduction

The granitic rocks are divided into magnetite and ilmenite series (Ishihara 1977), coinciding spatially with the I-type ($\epsilon_{Nd} > 0$; $(^{87}\text{Sr}/^{86}\text{Sr})_r \sim 0.704-0.706$) and S-type granites ($\epsilon_{Nd} < 0$; $(^{87}\text{Sr}/^{86}\text{Sr})_r \sim 0.708-0.765$), respectively (Takahashi et al., 1980). Most porphyry Sn deposits are associated with ilmenite (S-type) granitoids (Ishihara, 1977; Neiva, 2002). The published concepts on the origin and tectonomagmatic setting of Sanandaj-Sirjan Zone (SaSZ) Jurassic granitoids of 178-160 Ma are (1) metaluminous I-type granites formed in a magmatic arc of an Andean subduction system (Khalaji et al., 2007; Tahmasbi et al., 2010; Ahadnejad et al., 2011; Esna-Ashari et al., 2012), (2) subduction-related extensional basin (Shahbazi et al., 2010), (3) continental crust melting by rollback of Neo-Tethys oceanic crust (Zhang et al., 2018), and (4) subduction-related S-type granites (Bayati et al., 2017). In this research, the origin and tectonomagmatic setting of Jurassic granitoids (from 178 to 160 Ma) in Sanandaj-Sirjan Zone and the tin mineralization potential are investigated based on the available geological, geophysical and isotopic geochemical data.

Materials and methods

We used an integrated collection of published geochemical data (major, trace and rare earth

elements of 102 samples), isotopic (e.g., $(^{87}\text{Sr}/^{86}\text{Sr})_r$ of 50 samples, ϵ_{Nd} of 64 samples), geochronological (U-Pb dating of zircons), and geophysical data (airborne magnetic intensity) for the SaSZ granitoids of 178-160 Ma.

Result

The SaSz Jurassic granitoids include granite, monzonite, diorite, Syenogranite, tonalite batholiths. The $(^{87}\text{Sr}/^{86}\text{Sr})_r > 0.707$, N-MORB normalized patterns with enrichment in Low- and High Field Strength Elements (LFSE and HFSE) and depletion in P and Ti contents, chondrite-normalized patterns with flat heavy rare earth elements (HREE) patterns, magnetic susceptibility $< 10^{-5} \times 100$ (ilmenite series), no alteration, and no Sn, Cu, Pb, and Zn anomalies in whole rock composition of granitoids nor in the associated river sediments, absence of volcanic rocks, and occurrence of metamorphic rocks (slate and schist) during Cimmerian orogeny indicate the SaSZ granitoids are S-type granitoids formed in a continental collision zone.

Discussion

Geological, geophysical and geochemical characteristics of granitoids in Sanandaj-Sirjan Zone (such as the absence of volcanic arc and

*Corresponding author Email: karimpur@um.ac.ir

volcanic rocks, continental crust thickening (56–52 km) and the formation of large-scale (batholith) granitoids at depths >4 km, regional metamorphism at green schist facies (and amphibolite) following Cimmerian orogeny, low (Eu/Eu_N) (reducing conditions), magnetic susceptibility $<100 \times 10^{-5}$ (ilmenite series), negative ϵ_{Nd} and ($^{87}\text{Sr}/^{86}\text{Sr}$) >0.707) show that, unlike previous studies, these granitoids are S-type granitoids formed by melting the continental crust in a collisional zone. Therefore, tin mineralization might probably occurred in connection with them. However, there is ample evidence of the absence of tin mineralization by the magma that forms these S-type granitoids, that are including the lack of hydrothermal fluids and consequently mineralization potential (due to the absence of alteration minerals in ASTER satellite images), low content of tin, copper, lead and zinc elements in these granitoids Sanandaj-Sirjan Zone and associated river sediments, (Eu/Eu_N) value >0.2 , $\text{Rb/Sr} < 3$, low Y (10–75 ppm), Ba > 200 ppm, as well as the geological, geophysical and geochemical similarities to barren S-type (ilmenite series) granitoids in Lut block (in Najmabad, Sorkh kuh to Shah kuh areas) which have formed in a continental collision system during the Cimmerian orogeny.

References

- Ahadnejad, V., Valizadeh, M., Deevsalar, R. and Rezaei-kakhkhaei, M., 2011. Age and geotectonic position of the Malayer granitoids: Implication for plutonism in the Sanandaj-Sirjan Zone, W Iran. Neues Jahrbuch für Geologie und Paläontologie - Abhandlungen, 261(1): 61–75. <https://doi.org/10.1127/0077-7749/2011/0149>
- Bayati, M., Esmaeily, D., Maghdour-mashhour, R., Li, X. and Stern, R.J., 2017. Geochemistry and petrogenesis of Kolah-Ghazi granitoids of Iran: Insights into the Jurassic Sanandaj-Sirjan magmatic arc. Chemie der Erde- Geochemistry, 77(2): 281–302. <https://doi.org/10.1016/j.chemer.2017.02.003>
- Esna-Ashari, A., Tiepolo, M., Valizadeh, M., Hassanzadeh, J. and Sepahi, A., 2012. Geochemistry and zircon U–Pb geochronology of Aligoodarz granitoid complex, Sanandaj-Sirjan Zone, Iran. Journal of Asian Earth Sciences, 43(1): 11–22. <https://doi.org/10.1016/j.jseaes.2011.09.001>
- Ishihara, S., 1977. The Magnetite-series and Ilmenite-series Granitic Rocks. Mining Geology, 27(145): 293–305. <https://doi.org/10.11456/shigenchishitsu1951.2.7.293>
- Khalaji, A.A., Esmaeily, D. and Valizadeh, M. V., 2007. Petrology and geochemistry of the granitoid complex of Boroujerd, Sanandaj-Sirjan Zone, Western Iran. Journal of Asian Earth Sciences, 29(5-6): 859–877. <https://doi.org/10.1016/j.jseaes.2006.06.005>
- Neiva, A.M.R., 2002. Portuguese granites associated with Sn-W and Au mineralizations. Bulletin of the Geological Society of Finland, 74: 79–101. <https://doi.org/10.17741/bgsf/74.1-2.003>
- Shahbazi, H., Siebel, W., Pourmoafee, M., Ghorbani, M., Sepahi, A.A., Shang, C.K. and Abedini, M.V., 2010. Geochemistry and U–Pb zircon geochronology of the Alvand plutonic complex in Sanandaj – Sirjan Zone (Iran): New evidence for Jurassic magmatism. Journal of Asian Earth Sciences, 39(6): 668–683. <https://doi.org/10.1016/j.jseaes.2010.04.014>
- Takahashi, M., Aramaki, S. and Ishihara, S., 1980. Magnetite-Series/Ilmenite Series vs. I-type/S-type granitoids, Granitic Magmatism and related mineralization. Mining Geology, Special Issue, 8: 13–28.
- Tahmasbi, Z., Castro, A., Khalili, M., Khalaji, A.A. and De, J., 2010. Petrologic and geochemical constraints on the origin of Astaneh pluton, Zagros. Journal of Asian Earth Sciences, 39(3): 81–96. <https://doi.org/10.1016/j.jseaes.2010.03.001>
- Zheng, W., Mao, J., Zhao, C., Zhang, Z., Xiao, W., Ji, W., Majidifard, M.R., Rezaeian, M., Talebian, M., Xiang, D., Chen, L., Wan, B., Ao, S. and Esmaeili, R., 2018. Geochemistry, zircon U-Pb and Hf isotope for granitoids, NW Sanandaj-Sirjan zone, Iran: Implications for Mesozoic-Cenozoic episodic magmatism during Neo-Tethyan lithospheric subduction. Gondwana Research, 62: 227–245. <https://doi.org/10.1016/j.gr.2018.04.002>